LES MUCOPOLYSACCHARIDOSES TYPE I

Expérience du service de pédiatrie CHU HASSAN II FES (A propos de 08 cas)

Mémoire présenté par Docteur HANANE NOUAR Née le 24/06/1992

POUR L'OBTENTION DU DIPLOME DE SPÉCIALITÉ

Option: PEDIATRIE

Sous la direction du Professeur MOUSTAPHA HIDA

Professeur HIDA Moustanha

Remerciements

« A notre professeur Monsieur Hida Moustapha »

Je tiens à vous exprimer ma gratitude, cher professeur, pour votre accueil chaleureux au seinde votre service et pour votre soutien constant tout au long de mon parcours professionnel. Sous votre direction, j'ai appris énormément sur la pratique de la pédiatrie et sur les qualités humaines essentielles pour exercer ce métier avec succès. Vos qualités professionnelles et personnelles ont fait de vous un maître incontesté de cette discipline, mais également un guide bienveillant et un deuxième père pour nous tous. Vous êtes pour nous un exemple de rigueur et d'intégrité dans votre pratique professionnelle, ainsi qu'un modèle d'écoute et de sagesse. Vous m'avez fait un grand honneur d'accepter de diriger ce travail. Je vous remercie de votre attention et de votre écoute, Puisse Dieu Tout-Puissant vous accorder prospérité et bonheur.

« A notre maître madame Chaouki Sana »

Je tiens à vous exprimer ma profonde gratitude pour l'enseignement et l'accompagnement que vous m'avez prodigué tout au long de mes études en pédiatrie. Votre approche pédagogique et votre capacité à transmettre votre savoir avec clarté et passion ont rendu l'apprentissage de la pédiatrie stimulant et passionnant. Encore une fois, merci infiniment pour votre attention, votre écoute et votre soutien Au fil des années, Retrouvez dans ce travail l'expression de ma sincère gratitude.

« A notre maitre Le professeur Samir Atmani »

Je vous remercie de vos efforts et dévouement continus. Votre amour pour le métier, votre bonté et votre foie ont tellement rajouté au service, à la vie de vos petits patients et à notre formation. Veuillez croire monsieur que vous êtes un exemple de modestie, générosité et de persévérance et sous votre tutelle, j'ai appris à exercer avec rigueur et empathie. Tout mot de remerciement ne pourrait exprimernotre grande reconnaissance. Vous nous marquerez à jamais.

« A notre maître madame Mounia Idrissi Lakhdar »

Je voudrais exprimer ma gratitude pour l'influence positive que vous avez eu sur mon parcours professionnel et personnel. Votre passion pour la pédiatrie, votre expertise et votre dévouement ont été une source constante d'inspiration pour moi, et je suis reconnaissante de l'impact que cela a eu sur ma vie. Votre abord facile et votre sens de l'écoute sont les atouts qui me fascinent. Veuillez trouver, ici, l'expression de mon grand respect.

« A notre maître madame Sanae Abourazzak »

Je tiens à vous exprimer ma gratitude pour votre gentillesse et votre sourire toujours présent. Votre attitude bienveillante a rendu nos journées plus lumineuses et a contribué à créer un environnement de travail agréable et positif. Veuillez retrouver dans ce travail l'expression de ma profonde reconnaissance et de ma sincère gratitude.

« A notre maître madame Benmiloud Sara »

Je vous remercie de votre enseignement et encadrement au cours de ma formation en pédiatrie ou j'ai pu apprécier à la fois votre savoir-faire et vos qualités pédagogiques, ainsi que votre nature intellectuelle et bienveillante, qui ont fait de vous une femme remarquable.

« A notre maître madame Souilmi FZ »

Je tiens à vous remercier de tout cœur pour votre disponibilité et votre engagement envers nous. Votre capacité à nous accompagner, soutenir et à nous guider tout au long de notre formation a été d'une grande aide, retrouvez dans ce travail l'expression de mon profond respect.

« A notre maître madame Pr Hmami Fouzia »

Je suis tellement reconnaissante envers vous. Pour vos efforts constants, votre dévouement et votre passion envers la néonatologie. Ainsi que pour la sincérité et la générosité dont vous avez fait preuve tout au long de nos échanges. Vous étiez toujours prête à nous transmettre votre savoir et savoir-faire dans un environnement très conviviale et joyeux. Veuillez retrouver dans ce travail l'expression de ma profonde reconnaissance.

« A notre maître Monsieur Hbibi Mohammed »

Je vous remercie de votre enseignement et encadrement au cours de ma formation en pédiatrie. Vous avez été un mentor exceptionnel pour moi, me prodiguant conseils, orientations et soutien tout au long de mon parcours professionnel. A travers ce travail, je souhaite vous témoigner ma gratitude sincère.

« A notre maître professeur Kojmane Widade »

Vos compétences, votre dynamique, votre rigueur et vos qualités humaines et professionnelles ont suscité en moi une grande admiration et un profond respect.

Veuillez trouver ici le témoignage de ma sincère reconnaissance et profonde gratitude.

« A notre maître professeur Tadmouri Ilham »

Je tiens à vous remercier de votre accompagnement pédagogique et votre présence permanente. Je suis très touchée et reconnaissante par votre extrême courtoisie et bienveillance; Veuillez retrouver dans ce travail l'expression de mon profond et sincère remerciement.

« A notre maître professeur Mariam Radi »

Votre simplicité exemplaire et votre culture scientifique sont pour moi une source d'admiration et de profond respect. Veuillez trouver ici le témoignage de ma gratitude et ma reconnaissance.

«A notre maître professeur Bouramdane Sanae »

Je vous remercie de votre gentillesse et générosité. Vos compétences en Pédiatrie valent le respect. Veuillez retrouver dans ce travail l'expression de ma sincère gratitude.

À la mémoire de ma mère;

À mon mari; mon père, ma belle-mère et ma sœur À toute ma famille et mes amis....

Vous m'avez soutenue et comblée tout au long de mon parcours. Que ce travail soit le témoignage de mes sentiments les plus sincères et les plus affectueux. Puisse dieu vous procurer bonheur et prospérité.

LISTE DES ABREVIATIONS

MPSI : Mucopolysaccharidose type I

MLS : Maladie lysosomale de surcharge GAG Glycosaminoglycanes

HS: Heparanes sulfates

DS : Dermatanes sulfates

IDUA : L'alfa- l iduronidase

DBS : Dry Blood spot sample

ETS : Enzymothérapie de substitution

TCSH : Greffe de cellules souches hématopoïétiques

ETT : Electrocardiographie

TDM: Tomodensitométrie

DS : Déviation standard

HMG : Hépatomégalie

SMG : Splénomégalie

ORL : Otorhinolaryngologie

ADN : Acide désoxyribonucléique

AMO : Assurance maladie obligatoire

LISTE DES ILLUSTRATIONS

LISTE DES FIGURES:

Figure 1. Système endosome/lysosome18
Figure 2. Représentation schématique d'un protéoglycane22
Figure 3. Structure des principales chaînes GAG retrouvées dans les MPS I23
Figure 4. Cascade physiopathologique des MPS I23
Figure 5. Le résultat de l'étude génétique réalisée chez la patiente sur DBS32
Figure 6. Le dosage enzymatique de l'IDUA chez cette patiente par technique de
spectrométrie de masse en tandem à partir de gouttes de sang séché
réhydraté (DBS)34
Figure 7. la dysmorphie faciale de notre patiente atteinte de la forme atténuée de MPSI
36
Figure 8. Une distension abdominale avec une hernie ombilicale chez notre malade 38
Figure 9. Le dosage et profil électrophorétique des GAGs urinaires chez notre patiente
40
Figure 10. Mise en évidence d'une hypoplasie des coins antérosupérieurs de L2 sur la
radiographie du profil réalisée chez (I.E).et à la Radiographie thoracique de
face: des côtes élargies, effilées à leur insertion43
Figure 11. La transmission autosomique récessive de la MPSI52
Figure 12. La Dysmorphie faciale au cours d'une mucopolysaccharidose type I (29). Les
traits sont épais,l'ensellure nasale marquée, les narines larges et
antéversées. A droite : la dysmorphie est caractéristique chez notre patient
(I.E.) atteint de la forme sévère de MPS-I55
Figure 13. Rx du crane chez le patient (I.E.) montrant une scaphocéphalie55

Figure 14. Opacité cornéenne au cours d'une mucopolysaccharidose type I58
Figure 15. La physiopathologie de la surdité dans les mucopolysaccaridoses59
Figure 16. Aperçu des manifestations affectant la fonction respiratoire dans la
mucopolysaccharidose de type I (MPS I)60
Figure 17. Mécanismes induits par l'accumulation de GAGs type DS et menant aux
atteintes osseuses et articulaires observées chez les individus atteints de MPS
I60
Figure 18. Déformation des deux genoux en genu varum chez un malade de notre série
61
Figure 19. Aspect de main en griffe chez notre malade (I.E.)61
Figure 20. Aperçu schématique des manifestations affectant la fonction cardiaque dans
la MPS I62
Figure 21. Algorithme en cas de suspicion clinique précoce de MPSI63
Figure 22. Le dépistage néonatal de la MPS I67
Figure 23. Différentes possibilités thérapeutiques orientées69
Figure 24. L'Amélioration de l'accès au traitement par les patients MPSI au Maroc 72
Figure 25. Algorithme du traitement des patients atteints d'MPS I75

LISTE DES TABLEAUX :

Tableau 1. Récapitulatif des observations	.44
Tableau 2. Les signes cliniques et paracliniques dominants	.49
Tableau 3. Les éléments du diagnostic biologique	.49
Tableau 4. Quelques résultats de différentes études de prévalence, en fonctions	des
pays	.51
Tableau 5. Le spectre clinique des MPS I	.54
Tableau 6. Illustrant les Variantes les plus courantes chez les patients atteints de M	MPS
I dans le monde	.65
Tableau 7. La Surveillance recommandée pour les personnesatteintes	de
mucopolysaccharidose de type I	.79

PLAN

LISTE DES ABREVIATIONS8
LISTE DES ILLUSTRATIONS9
LISTE DES FIGURES9
LISTE DES TABLEAUX11
PLAN12
INTRODUCTION15
I. DEFINITIONS18
1. Le système endosome/lysosome18
2. Les maladies lysosomales de surcharge (MLS)19
a. Définition19
b. Classification des MLS19
II. Historique20
III. Physiopathologie22
1. Les glycosaminoglycanes (GAG) ou mucopolysaccharides22
2. Rôles physiologiques et relation structure/activité des glycosaminoglycanes.22
3. Rôles des glycosaminoglycanes dans les mucopolysaccharidoses23
4. Cascade physiopathologique des MPS I23
PATIENTS ET METHODES26
I. Présentation de l'étude27
II. Patients27
1. Critères d'inclusion27
2. Critères d'exclusion27
III. Méthodes (en se basant sur une fiche d'exploitation pré établie)27
IV. OBSERVATIONS29
RESULTATS ET DISCUSSION48
I. Epidémiologie51
II. Manifestations cliniques et paracliniques54
1. Le syndrome dysmorphique et le morphotype54

2. R	Retard de croissance staturo-pondérale	.56
3. L	'atteinte digestive	.56
4. L	es Manifestations neuropsychiques	.57
5. L	atteinte ophtalmologique	.58
6. L	atteinte otorhinolaryngologique et respiratoire	.59
7. L	atteinte ostéoarticulaire	.60
8. L	'atteinte cardiovasculaire	.62
9. A	Atteinte dentaire	.63
III. D	Diagnostic Positif	.64
1. B	iologique	.64
2. E	tude génétique	.65
3. D	Dépistage néonatal	.66
IV. D	Diagnostic différentiel	.68
V. Tra	nitement	.69
1. C	Objectifs	.69
2. M	Noyens	.69
a.	Traitements symptomatiques	.70
b.	Traitements spécifiques	.70
VI. N	louvelles approches thérapeutiques	.73
VII. É	volution et pronostic	.76
VIII. S	urveillance et suivi	.77
CONCLU	SION	.80
ANNEXES	5	.82
RÉSUMÉ.		.89
BIBLIOGR	RAPHIE	.92

INTRODUCTION

Les maladies héréditaires du métabolisme sont définies comme des pathologies ayant en commun le déficit de fonctionnement d'une (ou de plusieurs) enzyme(s), par mutation d'un(ou de plusieurs) gène(s), entraînant une accumulation de substrat(s) en amont et/ou une carence de produit(s) en aval, ayant un retentissement sur l'organisme. Malgré le caractère héréditaire de ces pathologies, elles peuvent s'exprimer au bout de plusieurs années, voire à l'âge adulte. D'où l'importance qu'elles soient connues des pédiatres, mais aussi de la médecine adulte.

Les mucopolysaccharidoses (MPS) sont des maladies métaboliques héréditaires rares dues à un déficit enzymatique lysosomal responsable d'une accumulation de glycosaminoglycanes (GAGs) encore appelés mucopolysaccharides au niveau des lysosomes, On en distingue sept types cliniques qui correspondent à 11 déficits enzymatiques différents.

La mucopolysaccharidose de type I (MPSI) correspond à la maladie de Hurler et à ses formes atténuées : c'est une maladie autosomique récessive héréditaire rare, Elle est liée au déficit d'une enzyme : l'alpha-L-Iduronidase (IDUA), responsable de l'accumulation dans les lysosomes des différents tissus de l'organisme de deux mucopolysaccharides : le dermatane- sulfate (DS) et l'héparane-sulfate (HS) qui entraînent des dysfonctionnements tissulaires et organiques.

La MPSI est caractérisée par un spectre clinique hétérogène, une évolution progressive et par des manifestations multi systémiques. Le phénotype de la MPSI est de sévérité variable selon l'activité enzymatique résiduelle.

Le Diagnostic de certitude repose sur la mise en évidence du déficit en alpha-L- Iduronidase dans les leucocytes et sur l'étude génétique.

La prise en charge est multidisciplinaire. En plus des mesures symptomatiques, les traitements actuels de la MPS I sont l'enzymothérapie substitutive et la transplantation des cellules souches hématopoïétiques employées seules ou en association. Plus le traitement est commencé à un âge précoce, plus l'évolution de la maladie peut être ralentie et l'endommagement des organes limité.

Les objectifs de notre travail s'articulent autour :

- Une mise au point sur la MPSI en Déterminant les aspects épidémiologiques,
 les bases physiopathologiques, les présentations cliniques, les moyens
 diagnostiques ainsi que l'approche thérapeutique de cette pathologie rare à
 travers huit cas suivis au service de pédiatrie de CHU HASSANII de FES.
- Nous espérons aussi que ce travail pourra contribuer à sensibiliser les médecins à bien connaître cette maladie rare dans le but d'améliorer le pronostic à court et à long terme des malades atteints, mais également de développer une base de données pour les mucopolysaccharidoses de type I, puis ultérieurement, un répertoire national pour tous les autres types de maladies métaboliques rares pour mieux codifier leur prise en charge à l'échelle nationale.

I. DEFINITIONS

1. Le système endosome/lysosome (3)

Est un réseau vacuolaire qui relie au sein d'un équilibre fin et dynamique, un ensemble d'organelles cellulaires. Ses principaux composants sont :

- L'endosome précoce : joue un rôle important dans le tri et le recyclage des molécules incorporées dans la cellule par endocytose ou phagocytose.
- L'endosome tardif se trouve principalement au niveau périnucléaire.
- Le lysosome : une organelle intra cellulaire possédant le plus fort potentiel catabolique, Ayant un rôle majeur dans la dégradation des macromolécules qui résultent de l'endocytose et de l'autophagie. Il est également impliqué dans de nombreuses fonctions cellulaires : homéostasie du cholestérol, réparation de la membrane plasmique, défense contre les agents pathogènes, mort cellulaire et transduction du signal.

Les lysosomes contiennent plusieurs enzymes (les hydrolases acides) dont le défaut de synthèse d'une ou plusieurs est à l'origine des Maladies lysosomales de surcharge (3).

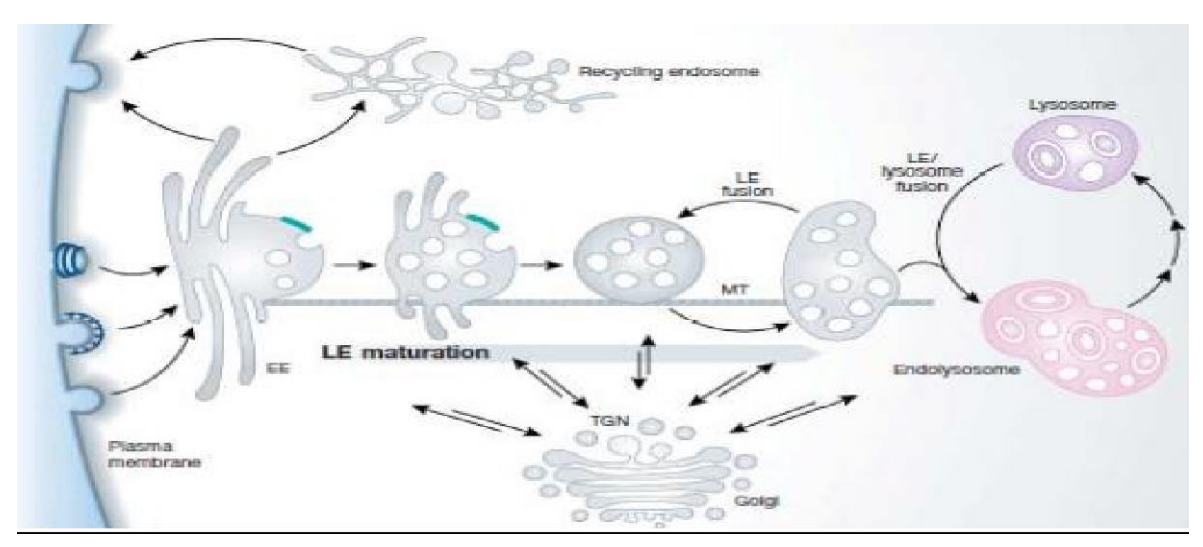


Figure 1. Système endosome/lysosome (1).

2. Les maladies lysosomales de surcharge (MLS) (1) (25)

a. Définition :

Les maladies lysosomales constituent un groupe hétérogène de pathologies impliquant chacune des gènes particuliers qui codent pour une protéine qui a une fonction spécifique dans le lysosome, conduisant au manque d'une ou plusieurs enzymes impliquées dans le catabolisme intracellulaire. Il en résulte une accumulation de substrats dans différents tissus (foie, rein, cerveau, vaisseaux sanguins, etc.), conduisant à leur dysfonctionnement.

b. Classification des MLS:

La classification classique des MLS est fondée sur la nature du substrat primaire accumulé, on distingue plusieurs groupes de maladies (22) :

- Les sphingolipidoses : défaut de dégradation de lipides complexes.
- Les mucopolysaccharidoses : sont liées à la dégradation incomplète de protéoglycanes.

Sept types de MPS (I, II, III, IV, VI, VII, et IX) sont decrits:

- Les oligosaccharidoses : sont liés à la dégradation incomplète des chaînes glucidiques complexes constituant des glycoprotéines abondantes dans le tissu conjonctif et squelettique.
- Les autres groupes : la glycogénose de type 2, la maladie de Nieman Pick C,
 les anomalies intégrales de la membrane (les Céroide lipofuscinoses), les anomalies des transporteurs (cystinose).

Une 2eme classification plus récente est proposée, et se réfère aux anomalies moléculaires causales de chaque maladie, telles les déficits enzymatiques ou les déficits en protéines membranaires (2).

II. <u>Historique (2)</u>

Hunter ou MPS II).

Les premiers cas de gargoylisme sont rapportés par John Thompson (entre 1910-1913) et Charles Hunter (en 1917). Ce syndrome, regroupant une dysmorphie faciale, une petite taille, un cou étroit, des mains courtes, une hépatosplénomégalie, une hernie ombilicale et des anomalies cardiaques, a finalement été accordé au médecin canadien (sous le nom de la maladie de

Deux ans plus tard, en 1919, le pédiatre allemand Hurler a observé deux cas similaires (un garçon et une fille). Toutefois, ces deux enfants sont caractérisés par un gibbus, une opacité cornéenne et un retard mental. C'étaient les premiers cas décrits de MPS I ou la maladie de Hurler.



Gertrud Hurler (1859-1965) Pédiatre allemand

En 1952, après des études histologiques réalisées sur des biopsies hépatiques, le Dr G. Brante a constaté que les syndromes de Hurler et Hunter sont causés par l'accumulation cellulaire de mucopolysaccharides. Après la confirmation par Dorfman et Lorincz en 1957 et Meyer en 1958, de l'excès d'excrétion urinaire de mucopolysaccharides (DSu et HSu) chez les patients atteints de MPS I, le terme de mucopolysaccharidose a été instauré.

En 1962, l'ophtalmologue britannique, Harolde Scheie a décrit une forme modérée de MPSI exempte de l'atteinte cérébrale qui caractérise le syndrome de Hurler. Cette forme a été désignée comme le syndrome de Scheie. En 1965, elle est qualifiée de MPS de type V par McKusick dans sa première classification des MLS (le syndrome de Hurler a été classé comme MPS de type I).

En 1964, alors qu'on pensait qu'une surproduction de GAG était à l'origine de ces deux syndromes, Hoof et Hers ont observé sur les hépatocytes issus de patients atteints de MPS I des troubles lysosomales analogues à la maladie de Pompe. Ils ont alors supposé une cause étio-pathogénique similaire c'est-à-dire un déficit en hydrolase lysosomale, qui a par la suite été démontrée En 1971 : Neufeld et al ont identifié le déficit en a-L-iduronidase comme cause du syndrome de Hurler puis découvert que ce déficit enzymatique est commun avec le syndrome de Scheie.En 1972, McKusick, a subdivisé alors la MPS I en 3 catégories cliniques : MPS IH (syndrome de Hurler), MPS IS (syndrome de Scheie) et MPS I H/S (syndrome intermédiaire).

Les progrès réalisés en biologie moléculaire ont permis par la suite -entre 1991 et 1993 -à Scott d'isoler l'ADNc du gène IDUA puis de réaliser son séquençage et d'identifier les premières mutations (p.W402X, p.Q70X, p.P533R) responsables de la MPS I. Une année plus tard, en 1994, Neufeld et son équipe ont procédé à la synthèse de a-L-iduronidase recombinante dans des cellules de hamster chinois (CHO) . Après le succès de l'enzymothérapie substitutive dans la maladie de Gaucher, l'équipe de Neufeld a montré l'efficacité de cette stratégie dans la MPS I, d'abord sur des modèles animaux (canin et félin), puis en 2001, grâce à des essais cliniques.

Depuis 2003, a-L-iduronidase recombinante est commercialisée sous le nom de la spécialité ALDURAZYME (Laronidase). L'AMM concerne le traitement des manifestations non neurologiques de la MPS I.

III. Physiopathologie

1. Les glycosaminoglycanes (GAG) ou mucopolysaccharides :

Sont des macromolécules glucidiques complexes, en chaines linéaires et non ramifiés Provenant des protéoglycanes (11).

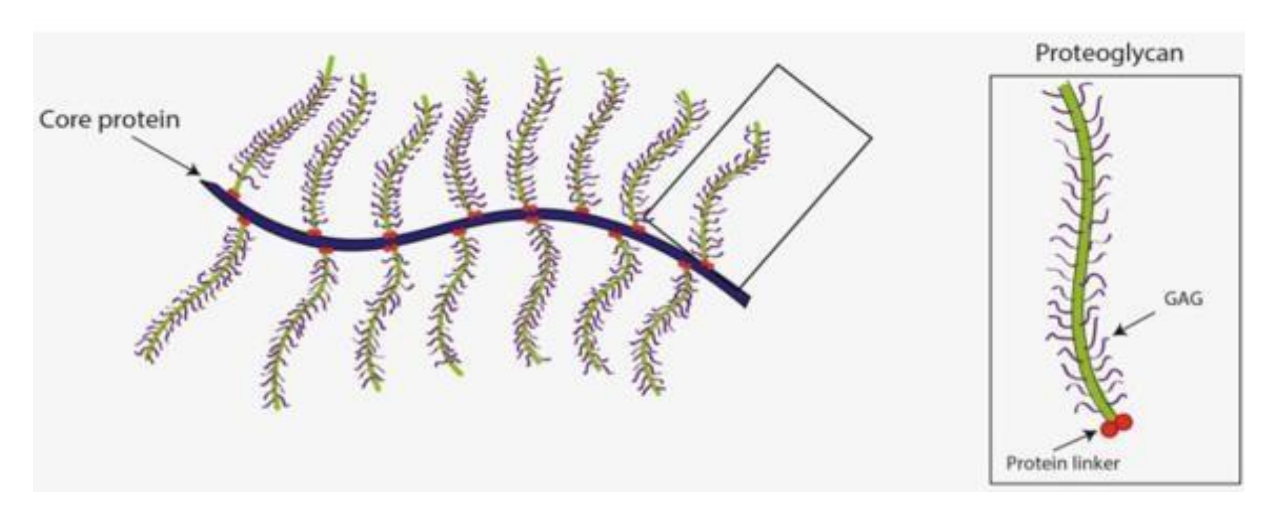


Figure 2. Représentation schématique d'un protéoglycane (3)

2. Rôles physiologiques et relation structure/activité des glycosaminoglycanes :

Les GAGs n'existent pas à l'état libre dans les tissus (30). Ils sont unis par une liaison covalente sous forme de protéoglycanes localement secrétés comme composant de la matrice extracellulaire (leur conférant de nombreuses propriétés telles que l'hydratation et la résistance aux forces de compression), ils restent ancrés à la surface extracellulaire en tant que constituant membranaires et régulent les communications intercellulaires ainsi que la division et la différenciation des cellules. Elles sont impliquées également dans de nombreux processus tels que la fibrillogénèse du collagène, la migration des axones dans le système nerveux central, la perméabilité sélective, le pontage entre la matrice extracellulaire et le cytosquelette, la régulation de la biodisponibilité, de la stabilité et de l'activité des cytokines.

Les principaux GAGs impliqués dans la MPSI sont : l'héparane sulfate (HS) et le dermatane sulfate (DS) (11).

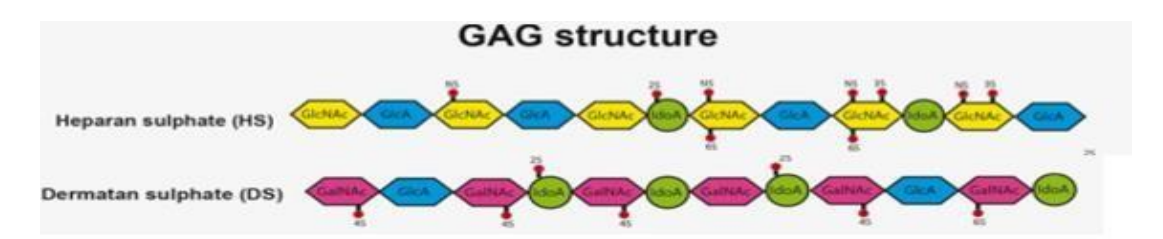


Figure 3. Structure des principales chaînes GAG retrouvées dans les MPS I (3)

3. Rôles des glycosaminoglycanes dans les mucopolysaccharidoses :

La dégradation des GAGs a lieu dans le lysosome et fait intervenir une enzyme alpha-L- iduronidase en cas de MPS I dont la perte de la fonction (suite à une mutation de géne à transmission autosomique récessive) entraine une accumulation intra lysosomale de DS et HS non ou partiellement dégradés, Cette surcharge est progressive et entraîne une hypertrophie du système lysosomal de divers tissus et liquides biologiques.

4. Cascade physiopathologique des MPS I: (3)

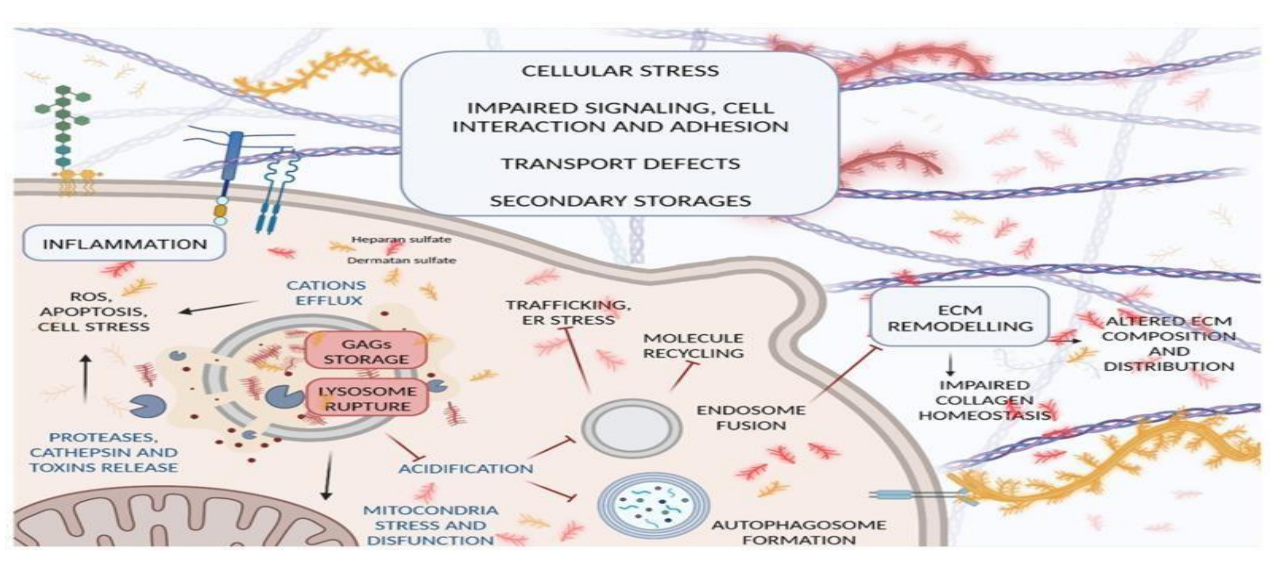


Figure 4. Cascade physiopathologique des MPS I

Plusieurs théories ou mécanismes physiopathologiques sont avancés pour expliquer lacascade physiopathologique des MPS I (commune à toutes les MLS) :

Théorie cytotoxique : qui est attribuée à l'engorgement de la cellule en substrats : les GAGs type heparane sulfate et dermatane sulfate suite à un deficit en alpha-L-iduronidase secondaire à la Mutation du gène codant sur le chromosome 4p16, qui va provoquer par un simple effet mécanique, l'altération de la physiologie puis la mort des cellules. Même si cette hypothèse est encore évoquée pour expliquer la physiologie des MLS, de nouveaux mécanismes sont proposés.

Altération du processus autophagique : La surcharge primaire induite par les déficits enzymatiques lysosomales pourrait être responsable de la diminution des capacités de fusion entre les lysosomes et les autophagosomes. Il en résulterait un blocage partiel et/ou une sur-induction d'un processus autophagique inefficace. Par conséquent, il y a une accumulation secondaire de substrats spécifiquement dégradés par ce processus, tels les agrégats protéiques et les mitochondries défectueuses. Cette surcharge secondaire va promouvoir la mort cellulaire par différents mécanismes. Elle contribue notamment à l'entretien d'une réaction inflammatoire chronique, à l'induction d'un stress oxydant et à plusieurs dommages cellulaires (3).

<u>Processus inflammatoire</u>: Une réaction inflammatoire chronique, résultante de l'activation inappropriée du système immunitaire en réponse à la surcharge cellulaire est retrouvée dans l'ensemble des MLS

Stress oxydatif : comme une réponse secondaire de la cellule à d'autres processus pathologiques et non comme un effet direct de la surcharge en substance non dégradées (11).

<u>Autres mécanismes physiopathologiques</u> : peuvent être cités comme l'altération du métabolisme du fer, le développement d'un processus auto-immun, altération du métabolisme des lipides...etc

PATIENTS ET METHODES

I. Présentation de l'étude :

Notre travail consiste en une étude rétrospective descriptive, menée au service de pédiatrie du CHU Hassan II de Fès, portant sur huit cas de mucopolysaccaridose type I chez l'enfant. Cette étude s'étale sur une période de 10 ans allant de 2012 à Décembre 2022.

II. Patients:

1. Critères d'inclusion

Sont inclus dans notre étude :

- Tous les patients suivis au sein de service de pédiatrie dont l'âgés de moins de 18 ans et.
- Dont le diagnostic de mucopolysaccharidose type I était confirmé (Symptomatologie évocatrice associée à un bilan biologique de certitude positif).

2. Critères d'exclusion

Les patients n'ayant pas bénéficié d'un bilan de certitude (ou en cours de diagnostic)

III. Méthodes (en se basant sur une fiche d'exploitation pré établie)

Au cours de cette étude descriptive, nous avons réussi à collecter les données concernant les malades répondant aux critères d'inclusion et nous avons regroupé les différents paramètres sous forme de fiches de renseignements individuelles. Le traitement des différentes informations figurant sur ces fiches nous avait permis d'obtenir les résultats qui par la suite étaient confrontés aux données de la littérature faisant ainsi l'objet du chapitre discussion.

La collecte des données a été établie : en consultant les dossiers médicaux disponibles aux archives du service de pédiatrie CHU HASSAN II, mais également en contactant les familles des malades dont on dispose d'un numéro de téléphone ou d'une adresse.

Les fiches d'exploitations préparées comportent les informations et les caractéristiques générales des patients ; les données de l'examen clinique, de l'exploration paraclinique, les résultats de l'étude biochimique ; ainsi que les thérapeutiques envisagées, dont bénéficient les différents patients actuellement.

Voir (annexes 1): fiche d'exploitation

IV. OBSERVATIONS

Observation n°1 : (S.B) :

Enfant de sexe masculin né en 2011, issu de parents non consanguins, consultant à l'âge de 17mois pour des hernies : ombilicale (apparue dès les 1ers mois de vie) et inguinale (à l'âge de 9 mois) avec notion d'otites à répétitions. Il est mutualiste.

L'examen clinique retrouve une dysmorphie du visage avec traits grossiers, front saillant et nez aplati avec une macrocranie; un retard staturo-pondéral (Poids à -1DS et Taille à -1DS); une distension abdominale avec hépatomégalie, et à l'auscultation cardio-pulmonaire : un souffle systolique minime au foyer mitral .L'examen ophtalmologique objective une diminution bilatérale de l'acuité visuelle à 7/10 et un aspect trouble de la cornée. L'examen ORL retrouve des végétations adénoïdes comprimant le tractus oro-pharyngé. Devant les anomalies auscultatoires, on demande une échographie cardiaque qui révèle une valvulopathie mitrale, l'échographie abdominale montre une HMG homogène sans SMG. Le bilan radiographique du squelette (mains, pieds, rachis dorsolombaire et bassin) est revenu normal, la radiographie du Cavum retrouve des végétations adénoïdes.

Devant ce tableau, un dosage des mucopolysaccharides et de l'activité enzymatique de l'Alpha-L-Iduronidase sont demandés : une excrétion accrue des GAGs urinaires et une activité enzymatique leucocytaire effondrée à 0 UI confirment le diagnostic d'une mucopolysaccharidose de type I.la biologie moléculaire a révélé Deux mutations : p. pro533Arg homozygote. Le profil clinique est en faveur d'un syndrome de Hurler.

Suivi et traitement : Le patient a bénéficié de cures chirurgicales pour ses deux hernies, et d'une adénoïdectomie. Et a été mis sous traitement hormonal substitutif DDT :07/2012 avec une bonne évolution sous traitement : L'acuité visuelle bilatérale s'est améliorée après correction, pas de récidive de ses hernies, régression de l'hépatosplénomégalie après contrôles échographiques et amélioration clinique de la raideur articulaire avec Reprise du développement staturo-pondéral ; sa dernière consultation remonte au mois 11/2022.

Observation n° 2: (H.B)

Nourrisson de sexe féminin née LE 04/2022, Elle est la sœur cadette de notre 1 er patient ; le diagnostic de MPS chez elle a été fait à l'âge de 3 mois suite à un dépistage devant l'antécédent familial. Elle est née d'un mariage non consanguin, la grossesse s'est déroulée sans problèmes et l'accouchement s'est fait par voie normale à terme avec une bonne adaptation à la vie extra utérine ; le poids de naissance était à 3.5kg ; la période néonatale s'est déroulée normalement et le développement neurologique est satisfaisant :

Notre examen clinique a objectivé une macrocranie PC à 43 cm (+2DS); la taille et le poids étaient à la moyenne par rapport à son âge, avec un débord hépatique minime FH à 7cm; l'examen neurologique est normal et l'examen cardio vasculaire ne trouve pas d'anomalies, les orifices herniaires sont libres.

La petite a bénéficié d'un dosage enzymatique de l'Alpha-l-iduronidase révélant un taux bas à 0, 1 (normalement sup à 1.5 UI), l'étude en biologie moléculaire a détecté deux mutations s : p. pro533Arg homozygote. Le diagnostic de MPS-I a été retenu.

Elle a bénéficié également d'une TDM cérébrale sans anomalie et une échographie abdominale revenant en faveur d'une HMG homogene.la patiente est mise donc sous traitement dès l'âge de 5 mois.







1/1

Prof. MOUSTAPHA HIDA Service de Pédiatrie, CHU HASSAN II, Fès Pédiatrie Service de Pédiatrie, CHU HASSAN II, Fès 30000 Fès Morosco

MEDICAL REPORT

Patient Name: Date of report: 11.07.2022 DBS ID: Sample received: 26.05.2022 Date of Birth: 14.04.2022 Date of sampling: 26.05.2022 Gender: 222013199-EMM1 Indication: MPS type I Official symbol: IDUA (MPSI); Gene ID: 3425 Methods: Reference sequence: NM_000203.3 (ENST00000247933) DNA extraction from Dried Blood Spot; PCR amplification and sequencing of coding exons 2-14 (exon 10 partly) and flanking intronic regions. Result: Following mutation was detected in homozygous state: c.1598C>G (p.(Pro533Arg)) Interpretation: Two mtations were detected: : the homozygous p.Pro533Arg is a known missense mutation (Scott et al 1992) and confirms Authorized by: Univ. Prof. Dr. Berthold Streubel [Specialist for Medical Genetics (Human Genetics)] <u>Please note</u>: Variants are described according "HGVS Recommendations for the Description of Sequence Variants: 2016 Update" (Hum Mutat. 2016 Jun;37(6):564-9). Common benign variants in the gene may have been identified but have not been included in this report. Mosaicism cannot be excluded. Because of their complexity and their potential implications for other family members, all genetic tests should be accompanied by genetic counselling in accordance with local legislation. MEDICAL LABORATORY ARCHIMED Life Science GmbH Leberstrasse 20/2 1110 Vienna, Austria MEDICAL CONSULTANT - CONTACT DETAILS Univ. Prof. Dr. Berthold STREUBEL, MD E-Mail: Info@generations.at Tel.: +43 664 4923 706 Fax: +43 1 253 30 33 **quality**austria SYSTEM CERTIFIED E-Mail: Info@archlmedlife.com www.archimedlife.com ISO 9001:2015 EN ISO 13485:2016

Figure 5. Le résultat de l'étude génétique réalisée chez la patiente sur DBS

Observation n° 3: (H.E)

Patiente née en 2011, issue d'un mariage consanguin 1er degré, non mutualiste. ayant comme antécédents : un retard du développement psychomoteur (position assise à 7 mois, marche à l'âge de deux ans et langage après l'âge de trois ans) avec notion d'opération pour une hernie ombilicale récidivante (suite à laquelle elle a été adressée au service à l'âge de 7 ans pour suspicion d'une maladie métabolique) ; son histoire de la maladie remonte au petit âge par la constatation par la famille d'une dysmorphie faciale ,broncho alvéolites à répétition , un ballonnement abdominal progressif avec notion de raideur articulaire des deux coudes et genoux .

L'examen clinique retrouve une dysmorphie du visage (traits grossiers), de grands globes oculaires avec un aspect trouble des cornées ; un retard statural (à -2 DS) ; une attitude scoliotique du rachis et une limitation de l'extension des bras ; une distensionabdominale avec présence : d'une hernie ombilicale, d'une cicatrice de cure chirurgicale et une hépato-splenomégalie ; l'auscultation cardiaque est sans anomalie.

L'examen ophtalmologique objective une opacification cornéenne stromale bilatérale sans autres anomalies. Un bilan radiographique réalisé montre : une attitude scoliotique à la radiographie du rachis dorsolombaire. Absence d'érosion articulaire intéressant les articulations atteintes. L'échographie abdominale montre un foie augmenté de taille avec une légère SMG.

Devant ce tableau clinique évocateur de MPSI, un dosage des GAGs et de l'activité enzymatique de l'Alpha-Liduronidase sont demandés : une excrétion accrue des GAGs urinaires et une activité enzymatique leucocytaire effondrée (0 UI) confirment une mucopolysaccharidose type I. Le profil clinique est en faveur d'un syndrome de Hurler. L'étude moléculaire a été réalisée révélant deux mutations p. pro533Arg homozygote.

Cette patiente a bénéficié d'un traitement symptomatique sans traitement enzymatique substitutif.

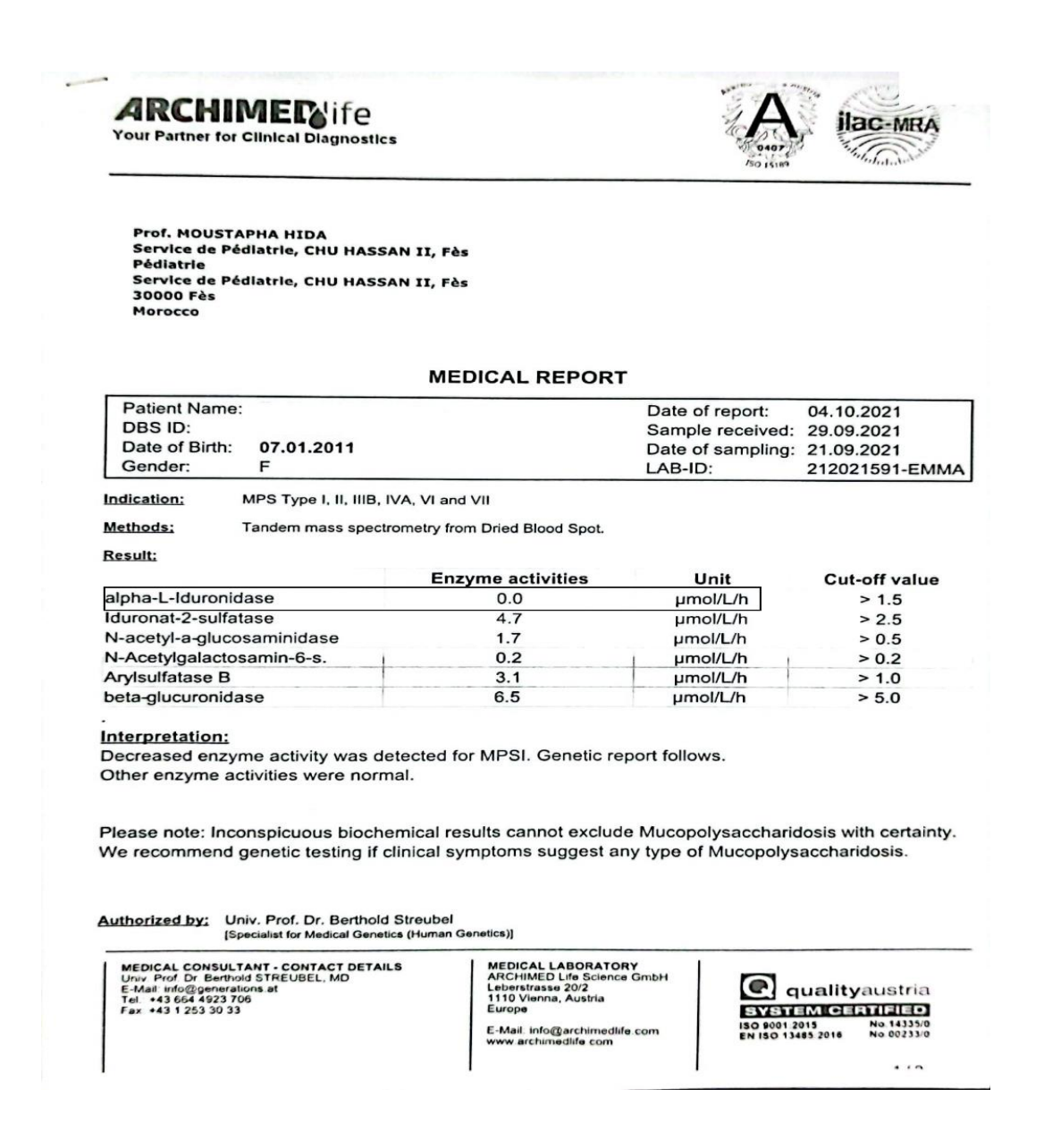


Figure 6. Le dosage enzymatique de l'IDUA chez cette patiente par technique de spectrométrie de masse en tandem à partir de gouttes de sang séché réhydraté (DBS)

Observation n° 4: (H.H)

Enfant née en 2014 et issue de parents consanguins (1er degré) originaire de Oujda ; souscrite récemment à une mutuelle, adressée à l'âge de 4 ans pour PEC d'un retard statural avec une distension abdominale progressive évoluant depuis la 1ere année devie avec notion de renflement nocturne.

L'examen clinique retrouve un syndrome dysmorphique (traits grossiers et front bombant) ; un retard statural (-2DS) avec une difficulté à assurer l'extension active et passive des deux coudes el le genou gauche ; une distension abdominale avec une discrète HMG, l'auscultation cardio-vx objective un souffle au foyer mitral. Le reste des examens pleuro-pulmonaire et ophtalmologique sont revenus normaux.

Un bilan radiographique est réalisé devant la raideur articulaire ne retrouve pas de signes d'érosion articulaire, la RX du cavum décèle des végétations adénoïdes, l'échographie abdominale est revenue en faveur d'une HMG modérée et l'ETT réalisée chez elle parle de valve mitrale remaniée avec fuite minime.

Le bilan biologique confirme une mucopolysaccharidose type I : l'activité enzymatique de l'Alpha-L-Iduronidase est effondrée à 0,9 avec Deux mutations détectées à l'étude génétique : p. pro533Arg homozygote ; Le profil clinique est en faveur d'un phénotype atténué (Hurler –Scheie).

<u>Suivi et traitement</u> : la patiente est suivie actuellement à Oujda, le traitement spécifique vient d'être débuté. Elle bénéficie du traitement symptomatique orthopédique et un suivi en ORL.



Figure 7. La dysmorphie faciale de notre patiente atteinte de la forme atténuée de MPSI

Observation n° 5: (H.J)

Il s'agit d'un garçon né en 2010, notion de consanguinité 1er degré ; venant d'être souscrit à une mutuelle, scolarisé à ce jour. Il a comme antécédents pathologiques : un développement psychomoteur normal, des infections respiratoires à répétition avec notion de végétations adénoïdes opéré à l'âge de 3 ans ; Ses parents n'ont consulté qu'à l'âge de 5 ans après avoir constaté chez lui une distension abdominale progressive avec une hernie ombilicale.

L'examen clinique trouve une dysmorphie du visage avec traits grossiers, un front saillant ; un retard statural à -2 DS ; une distension abdominale avec une hépatomégalie, une petite hernie ombilicale réductible et un souffle mitral à l'auscultation cardio-vx. La mobilisation des deux épaules et genous est devenue limitée avec une déformation en genu valgus.

Devant ce tableau clinique un dosage des mucopolysaccharides et de l'activité enzymatique de l'Alpha-L-Iduronidase sont demandés : une excrétion accrue des GAGs urinaires (29 mg/mmol) et une activité enzymatique leucocytaire effondrée à 0.3 (témoin à 11.6), l'étude génétique a montré une mutation pathogène c3233 (p.Pro533ARG) à l'état homozygote confirmant ainsi le diagnostic d'une MPS type I. Le profil clinique est en faveur de la forme atténuée (Hurler –Scheie). L'examen ophtalmologique n'a pas objectivé d'anomalies et l'ETT a objectivé une insuffisance mitrale minime sur valve mitrale légèrement épaissie. L'échographie abdominale est en faveur d'une HMG homogène sans signes d'http.

<u>Suivi et traitement</u> : le patient vient de débuter son traitement de substitution enzymatique le 12/22. Une cure d'hernie a été proposée avec des séances de kinésithérapie motrice.



Figure 8. Une distension abdominale avec une hernie ombilicale chez notre malade

Observation n° 6: (F.A.)

Il s'agit d'une fille née en 2006, qui consulte à l'âge de 10 ans pour une Hernie ombilicale récidivante. Elle est issue de parents consanguins (2ème degré) non mutualistes. L'histoire de la maladie fut marquée dès l'âge de 6 mois par l'installation progressive d'une dysmorphie faciale associée à un retard manifeste des acquisitions Psychomotrices, et à L'âge scolaire par des difficultés intellectuelles l'obligeant à quitter l'école à 12 ans. L'évolution fut marquée par une recrudescence des épisodes d'otites, une stagnation staturo-pondérale et déficit neurosensoriel : baisse de l'acuité auditive.

L'exploration clinique retrouve une dysmorphie faciale, un retard staturoponderal avec une attitude scoliotique du rachis dorsal, une distension abdominale
(HMG) associée à une hernie ombilicale récidivante après opération, L'auscultation
cardiaque retrouve des souffles de maladie mitrale et aortique, l'examen
ophtalmologique n'objective pas de diminution de l'acuité visuelle, l'examen ORL
souligne une otite bilatérale.

La petite a bénéficié d'un dosage des GAGs urinaires : Excrétion accrue avec profil électrophorètique en faveur d'une MPS type 1/2. Et un dosage enzymatique de l'Alpha-l-iduronidase révélant un taux bas à 0, l'étude en biologie moléculaire a détecté deux mutations s : p. pro533Arg homozygote. Le diagnostic de MPSI a été retenu.

BIOCHIMIE: MALADIES METABOLIQUES Profil électrophorétique montre la présence de bandes anormales permettant de retenir le chagnostic d'une mucopolysaccharidose de type II. A confirmer par dosage enzymatique dans les leucocytes.

Figure 9. Le dosage et profil électrophorétique des GAGs urinaires chez notre patiente

La TDM cérébrale réalisée parle d'atrophie cortico sous corticale associée à un élargissement du système ventriculaire, La TDM du Rocher montre une otite moyenne bilatérale prédominant à gauche.

L'échographie cardiaque visualise une dysplasie polyvalvulaire mitroa-ortique compliquée de cardiomyopathie hypertrophique ; avec une infiltration des coronaires alors que l'échographie abdominale est revenue en faveur d'une hépatomégalie homogène.

Suivi et traitement : la patiente n'a pas bénéficié de traitement hormonal ; elle a eu une antibiothérapie pour traiter son otite avec un suivi ORL (PEA) ; un suivi en neuro et cardio pédiatrie et fut adressée en orthopédie pour PEC de sa scoliose ; la patiente est décédée à domicile vers la fin de notre période d'étude suite probablement à un arrêt cardio respiratoire.

Observation n° 7: (H.I.)

Enfant de sexe masculin né en 2011, issu de parents consanguins 1er degré, consultant à l'âge de 3 ans pour un retard psychomoteur et statural sévères avec une hernie ombilicale récidivante et infections respiratoires à répétition. Il n'est pas mutualiste.

L'examen clinique retrouve une dysmorphie du visage avec traits grossiers ; une cyphose dorsale basse avec un thorax déformé en entonnoir ; un retard staturo-pondéral ; une distension abdominale avec une hépato-splenomégalie, sans souffle à l'auscultation cardio-pulmonaire. L'examen ophtalmologique a objectivé un aspect trouble de la cornée. L'examen ORL retrouve des végétations adénoïdes. L'échographie abdominale montre une HSMG. Le bilan radiographique du squelette (mains, pieds, rachis dorsolombaire et bassin) est revenu en faveur de dysostose multiples, la radiographie du Cavum retrouve des végétations adénoïdes.

Devant ce tableau, un dosage des mucopolysaccharides et de l'activité enzymatique de l'Alpha-L-Iduronidase sont demandés : une excrétion accrue des GAGs urinaires et une activité enzymatique leucocytaire effondrée à 0.1 UI confirment le diagnostic d'une mucopolysaccharidose de type I.la biologie moléculaire a révélé Deux mutations : p. pro533Arg homozygote. Le profil clinique est en faveur d'un syndrome de Hurler.

Suivi et traitement : Le patient a bénéficié de cure chirurgicale pour sa hernie, et d'une adénoïdectomie. D'un traitement orthopedique (corset) ; kinésithérapie respiratoire et motrice. Le traitement substitutif n'était pas instauré, il est décédé à domicile à l'âge de 5 ans.

Observation n° 8: (I.E.)

Enfant né en 2017 et issu de parents consanguins (1er degré); non mutualiste qui vient dese présenter en consultation à l'âge de 5 ans pour retard psychomoteur et statural, ayant comme antécédent : une hernie ombilicale récidivante pour laquelle il a été opérée à deux reprises avec notion d'infections respiratoires à répétition et renflement nocturne. L'histoire de la maladie remonte à la 1ère année de la vie par un retard d'acquisition des postures assise et debout avec une distension abdominale progressive.

L'examen clinique retrouve un syndrome dysmorphique (traits grossiers

Et front bombant) ; des opacités cornéennes et un retard statural (-3 DS) ; une distension abdominale avec HMG et une hernie ombilicale ayant récidivée après opération. Une raideur articulaire des deux coudes et genoux et une déformation thoracique en entonnoir , une cyphose avec des mains en griffes ; L'examen cardiovasculaire objective un souffle mitrale, Un bilan radiographique retrouve des végétations adénoïdes à la radiographie du Cavum , une dysostose multiple : une scaphocéphalie à la radiographie du crâne, un aspect en lames des côtes à la radiographie thoracique avec une hypoplasie des coins supero antérieures de L2 au niveau du Rachis, et à la radiographie des membres inférieurs : des genoux déformées sans signes érosifs.

Le bilan biologique confirme une mucopolysaccharidose type I, une activité enzymatique effondrée de l'Alpha-L-Iduronidase au papier buvard (à 0,5 nmol/h/mg de protéines). Le profil clinique est en faveur d'un syndrome de Hurler. L'étude génétique est en faveur d'une Mutation stop (nonsense) p. Trp402 homozygote. Une échographie abdominale et ETT sont demandées.

<u>Suivi et traitement</u> : le patient n'a pas encore bénéficié du traitement hormonal substitutif ; et est adressé en ORL et orthopédie pour le traitement symptomatique.

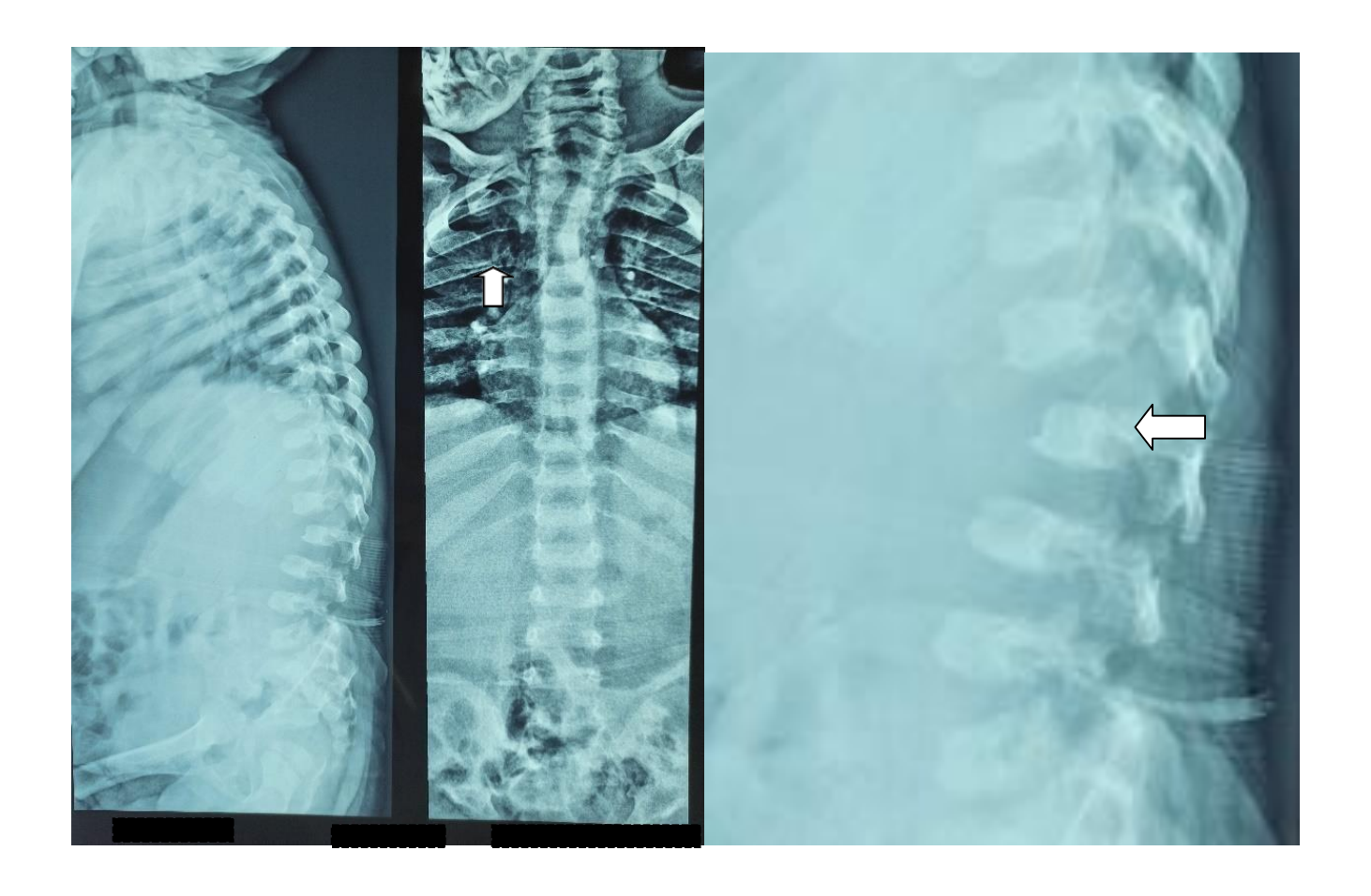


Figure 10. Mise en évidence d'une hypoplasie des coins antérosupérieurs de L2 sur la radiographie du profil réalisée chez (I. E) et à la Radiographie thoracique de face : des côtes élargies, effilées à leur insertion

Tableau 1. Récapitulatif des observations

Patients	1 (S.B)	2 (H.B)	3 (H.E)	4 (H.H)	5 (H.J.)	6 (F.A.)	7 (H.I.)	8 (I.E.)
Date de	2011	2022	2011					
naissance				2014	2010	2006	2011	2017
Sexe	M	F	F	F	M	F	M	M
Consanguinité	(-)	(-)	1er degré	1er degré	1er degré	2ème degré	1er degré	1er degré
Cas similaires dans la famille	1 cas = sœur Hurler	1 cas = Frère Hurler	(-)	(-)	(-)	(-)	(-)	(-)
Age du début des symptômes	Avant 1 an	Avant 1 an	Avant 1 an	A partir d'1 an	Après 1an	Avant 1 an	Avant 1 an	Avant 1 an
Age du dg	17 mois	3 mois	7 ans	4 ans	5 ans	10 ans	3 ans	5 ans
	Hernies + otites à répétition		Retard psychomoteur, hernie	Retard statural + une distension abdominae	Distension abdominale progressive avec	Retard Psychomoteur manifeste +des difficultés	Retard psycho-moteur et statural sévères + une hernie ombilicale	Retard psycho- moteur + distension
Motif de consultation			récidivante, raideur	progressie	une hernie ombilicale	intellectuelles	récidivante	abdominale progressive+
constitution			articulaire et distension abdominale		ombineare			hernie récidivante
	Aspect grossier du	Traits finement	Aspect grossier du visage et	Traits grossiers et front bombant	Traits grossiers et front bombant	Aspect grossier du visage : front saillant	Dysmorphie du visage avec traits grossiers	Traits grossiers et front bombant
Dysmorphie		grossiers Macro-cranie	front saillant et grands globes			et nez aplati		
faciale	et nez aplati+ macrocranie	PC à 43 cm (+2DS)	oculaires					

	Retard	(-)	Un retard	Un retard	Un retard	Un retard staturo-	un retard staturo-	Un retard
Retard statural	Staturo –		statural (à	statural	statural à (-2	ponderal (non	ponderal (non	statural
et ou pondéral	pondéral : P (-1DS) T (-1DS)		-2 DS)	(-2DS)	DS)	chiffré)	chiffré)	(-3 DS)
Atteinte abdomino- digestive	distension abdominale	Un débord hépatique minime FH à 7cm	Une distension abdominale, une hernie ombilicale, cicatrice de cure chirurgicale (hernie) et		Distension abdominale avec, hépatomégalie, une petite hernie ombilicale réductible	Une distension abdominale (HMG) associée à une hernie ombilicale récidivante		Distension abdominale avec HMG et une hernie ombilicale ayant récidivée après opération
Signes neurologies	(-)	(-)	Retard psychomoteur.	(-)	(-)	Retard psycho- motuer +difficultés intellectuelles	moteur	Retard Psycho- moteur
Opacité								
cornéenne	(+)	(-)	(+)	(-)	(-)	(-)	(+)	(+)
Atteinte ORL	Otites à répétition + végétations adénoïdes	(-)	(-)	Renflement nocturne+ végétations adénoïdes	Végétations adénoïdes	Otite bilatérale + baisse de l'acuité auditive	Végétations adénoïdes	Végétations adénoïdes
Atteinte respiratoire	(-)	(-)	Broncho- alvéolites à répétition	(-)	Infections respiratoires à répétition	(-)	· ·	Infections respiratoires à répétition

Docteur 45

Atteinte ostéo- articulaire	s	(-)	(-)	Attitude scoliotique du rachis et une limitation de l'extension des bras	Difficulté de : Active extension+ passive des deux coudes +genou gauche, pas de signes RX d'érosion	Mobilisation des deux épaules et genoux est limitée avec une déformation en genu valgus	Attitude scoliotique du rachis dorsal	Cyphose dorsale basse avec un thorax déformé en entonnoir+ dysostose multiples	Raideur articulaire des deux coudes et genoux + déformation thoracique en entonnoir, une cyphose avec des mains en griffes +dysostose multiples
Anomalie cardio- vasculaire		Souffle systolique minime au foyer mitral	(-)	(-)	Valve mitrale remaniée avec fuite minime.	Insuffisance mitrale minime sur valve mitrale légèrement épaissie	Dysplasie poly valvulaire mitroa-ortique compliquée de cardiomyo-path ie hyper- trophique	(-)	Souffle au foyer mitral (RDV ETT)
Profil clinique		Hurler	Hurler	Hurler	Phénotype atténué (Hurler – Scheie)	Phénotype atténué (Hurler – Scheie)	Hurler	Hurler	Hurler
Biologie D'orientation	U	Dosage des GAGs:elevé Electrophorèse : profil en faveur d'une MPS type 1/2.	NR	Excrétion accrue des GAGs urinaires Electrophorèse : Profil en faveur d'une MPS type 1/2.	Dosage des GAGs:elevé Electrophorèse : profil en faveur d'une MPS type 1/2.	Excrétion accrue des GAGs urinaires Electrophorèse : profil en faveur d'une MPS type 1/2.	Excrétion accrue des GAGs urinaires Electrophorèse : profil en faveur d'une MPS type 1/2.	Excrétion accrue des GAGs urinaires Electrophorèse : profil en faveur d'une MPS type 1/2.	NR

Docteur 46

Biologie de confirmation	S	Activité enzymatique nulle	Activité enzymatique effondrée	Activité enzymatique nulle	Activité enzymatique effondrée	Activité enzymatique effondrée	Activité enzymatique nulle	Activité enzymatique effondrée	Activité enzymatique basse
Etude Génétique	ı	Deux mutations : p.pro533 Ar g homozygote	Deux mutations : p. pro533Arg homozygote	Deux mutations : p. pro533Arg homozygote	Deux mutations : p. pro533Arg homozygote	Une mutation pathogène : c3233 (p. Pro533AR G) à l'état homozygote	Deux mutations s : p. pro533Arg homozygote	Deux mutations : p. pro533Arg homozygote	Mutation stop (nonsense): p. Trp402 homozygote
Traitement symptoma tiques		Cure des hernies Adénoïde- ctomie +ATB otite	(-)	Cure de la hernie ombilicale	Orthopédique et un suivi en ORL et cardio-ped	Suivi en orthopedie et cardio ped+ cure d'hernie proposée	ATB et suivi ORL Suivi neuro ped et cardio DECES	Chirurgie d'hernie, une adénoïdectomi e. D'un traitement orthopedique (corset) ; kinésithérapie respiratoire et motrice. DECES	Adressé en ORL et orthopédie
Traitement spécifique		Laronidase DDT: 07/2012	Laronidase DDT: 09/22	NR	laronidase vient de le débuter (suivie à Oujda)	Laronidase DDT : 07/2022	NR	NR	NR

Docteur 47

RESULTATS ET DISCUSSION

<u>Résultats</u>

- L'âge moyen de nos patients au moment du diagnostic était de 4.5 ans avec des extrêmes de 3 mois et de 10 ans,
- L'âge moyen au début de la maladie était de 04 mois avec un délai de 05 ans en moyenne Entre le début des symptômes et le diagnostic.
- Le sexe ratio est à 1 (4 filles et 4 garçons).
- Le pourcentage des patients mutualistes était de 50 % (4/8).
- La consanguinité premier degré est présente chez 5/8 cas (62,5%) et deuxième degré chez 1/8 cas (12,5%). Deux de nos patients sont frère et sœur.
- Les antécédents d'infections respiratoires et/ou oto-rhinolaryngologiques à répétitions ont été retrouvés chez 87.5% des patients.
- Les motifs de consultation les plus fréquents étaient les hernies ombilicales
 et la distension abdominale dans 75% et 87.5% respectivement.

<u>Tableau 2. Les signes cliniques et paracliniques dominants sont :</u>

Signes cliniques fréquents	Pourcentage
La dysmorphie faciale	100%
L'organomégalie	100%
Le retard statural et/ou pondéral	87,5%
L'atteinte ostéoarticulaire	75%
L'atteinte cardiaque	62.5%

 Le phénotype Hurler a été constaté chez 6/8cas ; deux étaient des formes atténuées : hurler-scheie.

Tableau 3. Les éléments du diagnostic biologique :

LE dosage des GAGs	Activité enzymatique de	L'étude génétique	
urinaires	l'alpha -l- iduronidase :		
Six de nos malades ont	Tous nos patients	Réalisée chez tous nos	
bénéficié d'un dosage des	présentaient un déficit	patients – une mutation	
GAGs dans les urines :	enzymatique total (< 5	p.P533R à l'état	
excrétion accrue	nmoles/h/mg de protéines)	homozygote dans 87.5%	
Electrophorèse : un profil	en alpha-l-iduronidase,	des cas.	
enfaveur d'une MPS type	avec une activité	Une deuxième mutation	
1/2	enzymatique nulle chez 50%	non-sens p.Trp402 a été	
	des patients.	retrouvé uniquement chez	
		un patient .	

- La majorité de ces enfants bénéficient d'un traitement symptomatique avec prédominance des cures chirurgicales des hernies, et la moitié d'entre eux (50%) reçoivent un traitement substitutif à base de laronidase alors qu'aucune transplantation des cellules souches hématopoïétiques n'a été réalisée.
- L'évolution des patients sous laronidase a été marquée en général par l'amélioration ou au moins la stabilisation des symptômes (on a un recul thérapeutique avec un seul patient) alors que l'état des patients non traités s'aggravait progressivement avec deux décès à domicile suite à un arrêt cardio respiratoire probable.

I. Epidémiologie

- ◆ La prévalence exacte de la MPS I est difficile à obtenir à partir des ressources épidémiologiques disponibles, son estimation varie considérablement selon les pays.
- ◆ En janvier 2022, la prévalence de la MPS I au niveau mondial est estimée à 0.82/100000 naissances (1/100000 pour les formes sévères et 1/500000 pour les phénotypes atténués), elle est d'environ 1/100 000 en Europe selon une étude systématique de la littérature réalisée par Orphanet (4).

Quant au Maroc, on ne dispose pas encore de données dans ce sens.

Quelques résultats de différentes études de prévalence, en fonctions des pays, sontrapportés sur le tableau suivant (1) (2) :

<u>Tableau 4. Quelques résultats de différentes études de prévalence, en fonctions des pays</u>

Pays	Années	P	révalence 1/10	00000
rays	Annees	IH	IS	I H/S
Australie*	2012	1,14	0,2	0,87
Taiwan	1984-2004	0,06	0,02	0,03
Irlande	2001-2006	3,2	0,12	0,49
République Tchèque	1979-2009	0,7	NP	NP
Slovaquie	1979-2010	1,32	NP	NP
Suède	1975-2004	0,67	NP	NP
Norvège	1975-2004	1,85	NP	NP
Danemark	1975-2004	0,54	NP	NP
Colombie	1952-1986	0,69	0,08	NP
Irlande	1958-1985	1,3	0	0,36
Pays-Bas	1970-1996	1,19	NP	NP
Allemagne	1980-1995	0,61	0,05	0,03
Grande Bretagne	1981-2003	0,76	0,07	0,24
Oman	1998-2007	0,744	NP	NP

◆ La MPS I étant une maladie à transmission autosomique récessive :

Elle touche les deux sexes avec un sexe ratio qui reste proche de 1.

En effet Nos résultats concordent avec la plupart des études épidémiologiques (22). Certaines comme les études de Rabat (6).et Marrakech (1) avaient objectivés une prédominance masculine minime (sexe ratio :1.5 et 1.09) alors que d'autres ex : adjtoutah (2) ont rapporté une prédominance féminine.

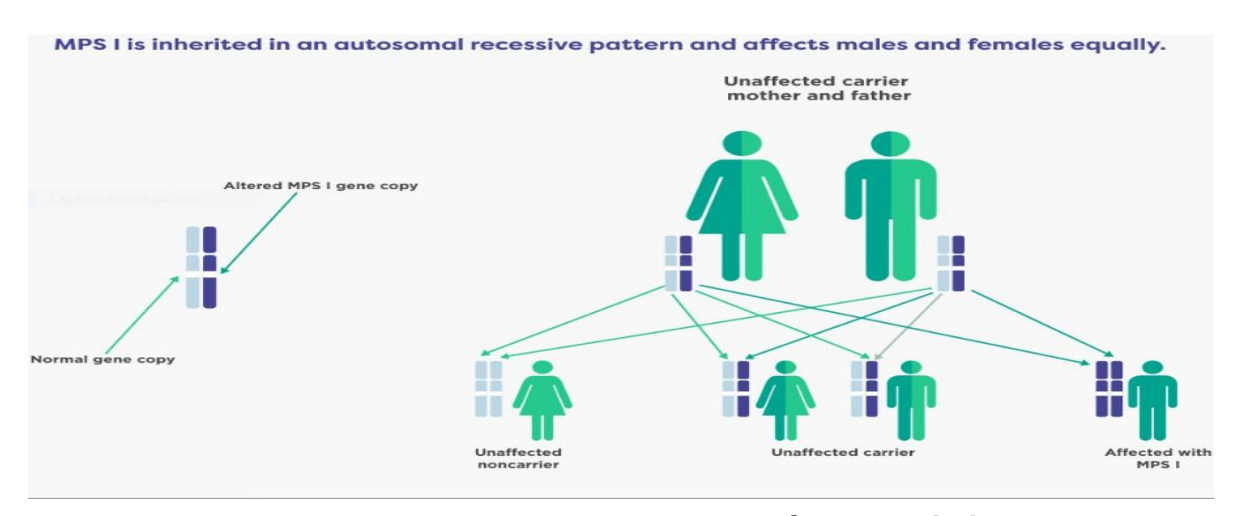


Figure 11. La transmission autosomique récessive de la MPSI

- ◆ La consanguinité serait un facteur déterminant augmentant ainsi le risque d'avoir un enfant malade. Dans notre étude, le taux est élevé :75% et est comparable à celui de l'étude de Marrakech (1), Rabat (6) et l'Algérie (2).
- S. Khedhiri et al. (7) réalisent une étude portant sur des cas de MPS type I recrutés dans les services de pédiatrie des différentes zones géographiques de la Tunisie, et constatent après l'étude des arbres généalogiques des patients, que ces malades appartenaient à 4 grandes familles tunisiennes ; ils concluaient alors que La fréquence des unions entre apparentés en Tunisie comme dans les autres pays de l'Afrique du Nord peut modifier la prévalence de cette maladie dans ces régions. Cette conclusion peut être avancée pour justifier la forte proportion d'une mutation particulière p.P533R dans ces populations.

Cette même étude. (7) a montré que le risque de récurrence s'accroit si un membre de la famille est atteint, d'où l'intérêt de rechercher les hétérozygotes et de donner des conseils génétiques au profit des familles touchées.

◆ Le délai retardé entre le début des signes et le diagnostic (5 ans dans notre série, 6.45 ans dans une série de Marrakech (1) et 5.1 ans dans une autre de Rabat (6)) et pourrait être expliqué dans notre contexte par le niveau socioéconomique défavorisé des patients; De plus certaines familles ne prennent pas conscience du caractère anormal de certains symptômes apparents, et ne consultent qu'après aggravation de ces derniers.

Les individus affectés par cette maladie ont traditionnellement été classés comme ayant l'un des trois syndromes MPS I (syndrome de Hurler, Hurler-Scheie ou syndrome de Scheie), Actuellement ils sont mieux décrits comme ayant un phénotype compatible avec une MPS I sévère (syndrome de Hurler) ou atténuée. (27)

Il n'existe actuellement aucun marqueur biologique ou critère clinique validé pour distinguer ces deux formes : les médecins se sont basés pour établir leurs classifications sur l'âge de début de la symptomatologie, et le développement intellectuel préservé ou non des patients. Mais nous savons que ces méthodes d'évaluation du quotient intellectuel en pédiatrie sont altérées par une certaine subjectivité, voire un manque de sensibilité. D'autre part, l'évaluation de l'âge de début de la symptomatologie de façon rétrospective (notamment la dysmorphie faciale) est très difficile au cours de cette maladie caractérisée parune évolution chronique.

Notre étude comme d'autres ont observé une forte proportion de formes sévères (75% des cas de notre série) ;ce même pourcentage pourrait d'une part être sous-estimé vu la méconnaissance de la maladie par les pédiatres et les généralistes et la forte mortalité des sujets atteints de formes sévères ,D'autre part les formes atténuées

sont peu reconnues par les médecins en comparaison avec le hurler où les signes clinique sont très évidents et la dysmorphie est manifeste donc leur taux réel n'est pas bien précisé.

Tableau 5. Le spectre clinique des MPS I (5)

	Severe MPS I Rapid progression		progression
Phenotype ^u	Hurier	Hurler-Scheie	Scheie
Median Age of Onset ²	6 months	1.8 years	5.3 years
Early and Prevalent Signs ⁽³	Hernia, coarse facial features, kyphosis/gibbus	Hernia, corneal clouding, hepatomegaly	Hernia, joint contractures, corneal clouding
Median Age at Diagnosis ²	1 year	4 years	9.4 years
impact on Cognition\2	Significant mental delay with loss of acquired skills	No/mild mental delay, learning disabilities	None

C'est une maladie progressive, souvent débilitante et potentiellement mortelle.

La principale cause de décès est l'insuffisance cardiorespiratoire. Les manifestations cliniques varient considérablement d'un individu à l'autre.

II. Manifestations cliniques et paracliniques

1. <u>Le syndrome dysmorphique et le morphotype :</u>

La dysmorphie caractéristique (décrite dans la littérature par le terme gargoylisme) est secondaire au stockage des GAGs dans les tissus mous de la région oro-faciale.

Elle comporte : une macrocranie, des sourcils bas implantés épais et des cheveux

hirsutes ; le front est saillant, le nez aplati à sa racine avec des narines larges ; les lèvres sont épaisses et écartées ; la respiration se fait la bouche ouverte ; Il existe une macroglossie, et les dents sont petites et mal implantées. Une scaphocéphalie peut également être observée.



Figure 12. La Dysmorphie faciale au cours d'une mucopolysaccharidose type I (29). Les traits sont épais, l'ensellure nasale marquée, les narines larges et antéversées. A droite : la dysmorphie est caractéristique chez notre patient (I.E.) atteint de la forme sévère de MPS-I



Figure 13. Rx du crane chez le patient (I.E.) montrant une scaphocéphalie

Le morphotype général : est caractérisé par un cou court avec une tête rentrée dans les épaules, un aspect trapu des membres, une mobilité réduite des articulations, les mains en griffes. Et un abdomen volumineux.

D'après notre étude la dysmorphie faciale évocatrice est présente chez tous les malades avec une intensité variable, et ceci est comparables avec les données de la littérature.

2. Retard de croissance staturo-pondérale :

Selon notre série, un retard de la croissance staturale ou staturo-ponderale a été retrouvé chez la majorité des malades soit 87,5%. Le retard est staturo-pondéral chez 4 malades variant entre [-1DS; -3DS] pour les deux paramètres. Un retard statural seul est retrouvé chez 4 patients.

Ce résultat est en accord avec les données de la littérature. (8) ; les patients peuvent avoir une taille normale pendant la petite enfance, mais cesser de grandir à l'âge de 2 ans et ne peuvent généralement pas atteindre une hauteur supérieure à 150 cm. (9), ce retard peut ne pas être évident dans les formes atténuées. Le développement axial est plus perturbé que le développement appendiculaire, et ceci est causé par l'altération de la maturation programmée des chondrocytes dans la plaque de croissance. (10).

3. L'atteinte digestive :

La déglutition peut devenir difficile en raison du dépôt de GAGs dans le tissu musculaire de la langue, entraînant une macroglossie qui peut altérer la parole, ce dépôt survient également dans des viscères et entraine une organomégalie (HMG. SMG ...) qui gêne le diaphragme engendrant un syndrome respiratoire restrictif, et participe à la distension abdominale avec comme conséquence une apparition d'hernies ombilicales et inguinales ayant la caractéristique de récidiver souvent après cure chirurgicale,

l'atteinte abdominale (distension et hernies) a représenté Le motifs de consultation le plus fréquent dans notre série (87.5% et 75% respectivement).

Ces trois groupes de symptômes sus-cités dominent le tableau clinique des patients de notre étude.

4. Les Manifestations neuropsychiques :

Signent L'impact de l'accumulation des GAGs type HS au niveau du SNC (11). Elles sont variables : débutant par un retard des acquisitions psychomotrices voire un trouble de langage pouvant évoluer vers une déficience intellectuelle de degré divers (12), associant dans certains cas une perte progressive des fonctions cognitives et motrices (neurodégénérescence (12)), et une détérioration neurosensorielle (auditives et ophtalmologiques).

L'infiltration progressive de la moelle épinière et des ligaments vertébraux peut provoquerune compression médullaire au niveau cervical. L'infiltration peut également comprimer des nerfs périphériques : c'est le cas du Syndrome du canal carpien : fréquent selon la littérature (16) mais non rapporté par nos patients.

Le degré de cette atteinte est variable : elle est sévère chez le sous type clinique Hurler (MPS 1-Hurler), légère chez la forme atténuée. Cette description est en parfait accord avec nos résultats : en effet Les deux patients ayant un phénotype atténué ne présentent pas de signes neurologiques tandis que chez ceux avec la formes sévères l'atteinte variait entre un retard psychomoteur de degré variable, retard intellectuel chez une patiente et une macrocranie chez une autre sans signes d'HTIC.

Le scanner ou l'IRM cérébrale peut montrer différentes anomalies : une hydrocéphalie (à cause d'un déficit de réabsorption du LCR), des kystes arachnoïdiens, ou rarement des images hypodenses arrondies ou ovales dans la substance blanche traduisant une démyélinisation.

Le profil psychologique : les patients MPS I sont généralement calmes et placides, ils développent peu ou pas de problèmes comportementaux, et ils sont plus vigilants vis-avis le danger malgré une détérioration cognitive sévère comparée à la mucopolysaccharidose type III par exemple, où on assiste a un profil de patients souvent victimes d'environnements dangereux. En effet, les patients de notre étude montraient un profil psychologique similaire.

5. <u>L'atteinte ophtalmologique :</u>

L'opacification cornéenne est fréquente et évocatrice du diagnostic (29). Elle survient chez tous les individus atteints de MPS I (13).se produit en raison d'une altération structurelle du stroma cornéen (9). La progression peut entraîner une déficience visuelle grave, Un glaucome à angle ouvert peut survenir. La dégénérescence rétinienne entraînant une diminution de la vision périphérique et la cécité nocturne est courante. La cécité peut résulter d'une combinaison de dégénérescence rétinienne, de compression et d'atrophie du nerf optique et de lésions corticales dues à l'hydrocéphalie.



Figure 14. Opacité cornéenne au cours d'une mucopolysaccharidose type I (29)

Dans notre série 4 des 6 patients ayant la forme sévère (66 % par rapport à 80% (2) et 100% (13) avaient des opacités cornéennes ; cependant les deux patient classés phénotype atténué ne présentaient pas d'atteinte ophtalmologique ce qui n'est compatible avec les données de la littérature considérant ce signe parmi les signes d'appel fréquents chez les formes atténuées (2) (12) (13).

6. L'atteinte otorhinolaryngologique et respiratoire :

Les GAG s'accumulent dans les tubes de l'oreille moyenne et les empêchent en outre de se drainer correctement, entraînant des infections récurrentes de l'oreille. Les patients développent généralement une perte auditive conductrice et neurosensorielle combinée (9). La surdité est quasi constante selon certaines études (70 à 100% des patients (2) surtout chez les formes sévères (13). Une de nos patients avait présenté une surdité avec notion d'otites à répétition.

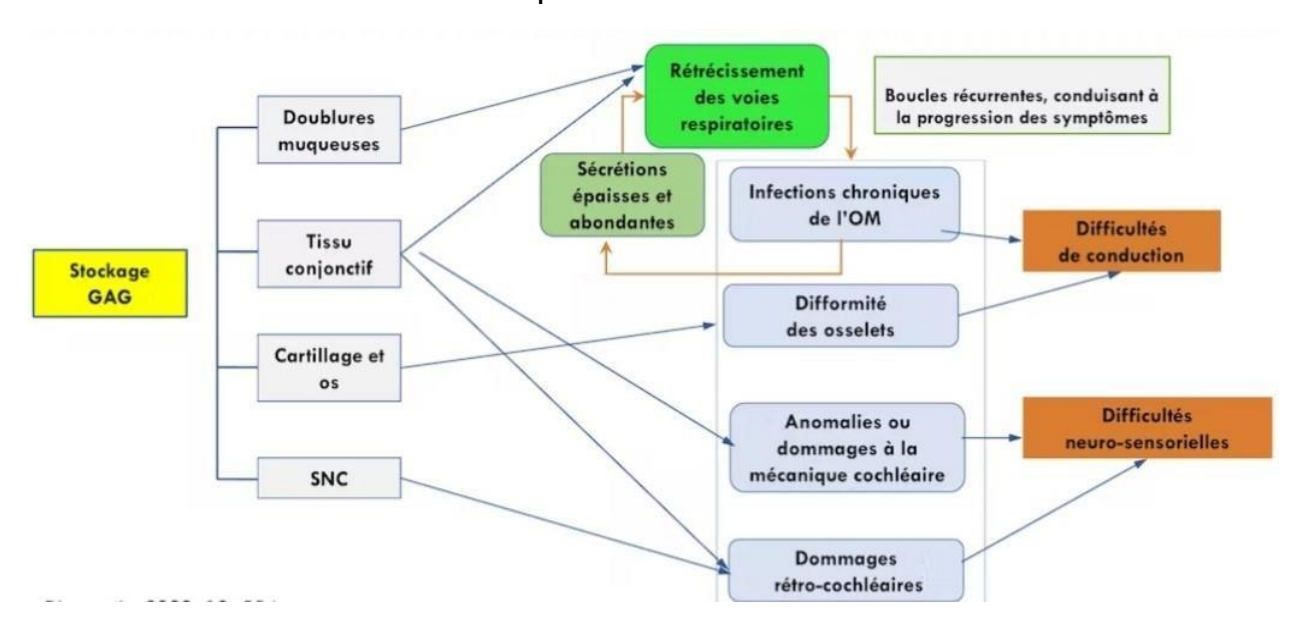


Figure 15. La physiopathologie de la surdité dans les mucopolysaccharides(15)

Les malades atteints de MPS I développent souvent des infections fréquentes des sinus et des poumons avec des sécrétions épaisses qui s'associent à L'épaississement des tissus mous dans le nez, le pharynx, les amygdales et les végétations adénoïdes ainsi que des anomalies du cartilage trachéal provoquant une obstruction progressive des voies respiratoires et une apnée du sommeil. Chez certains patients, l'apnée du sommeil n'est pas reconnue et peut provoquer une hypoxémie importante la nuit, entraînant des complications telles que l'hypertension pulmonaire et le cœur pulmonaire; considérée dans notre série comme cause de décès probable chez un de nos patients.

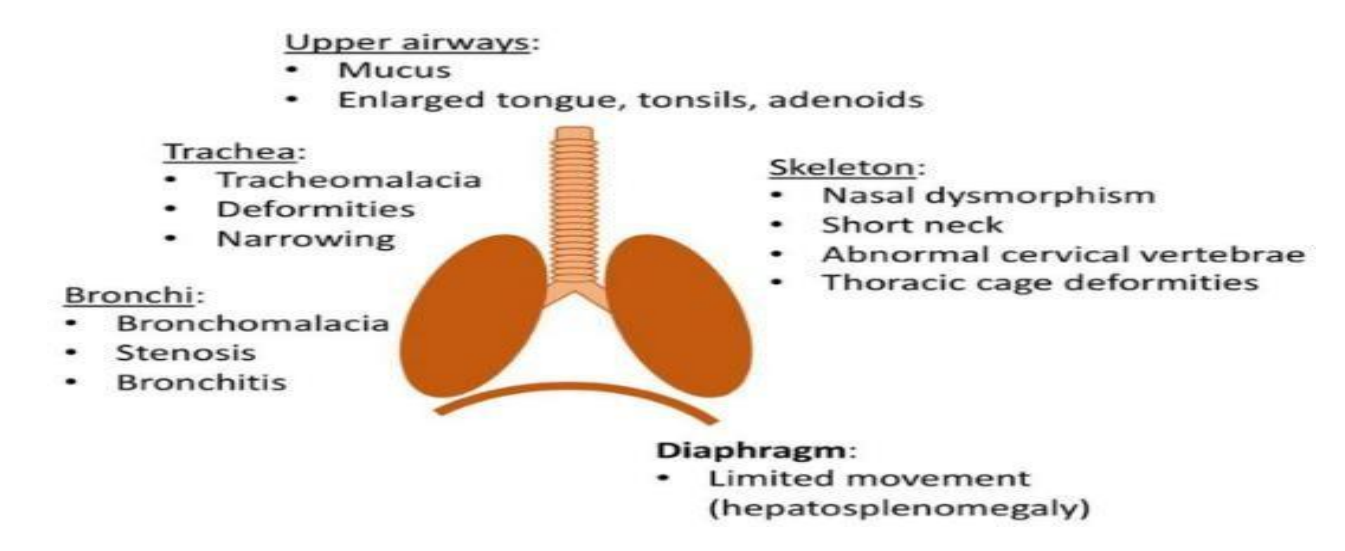


Figure 16. Aperçu des manifestations affectant la fonction respiratoire dans la mucopolysaccharidose de type I (MPS I) (14)

7. L'atteinte ostéoarticulaire :

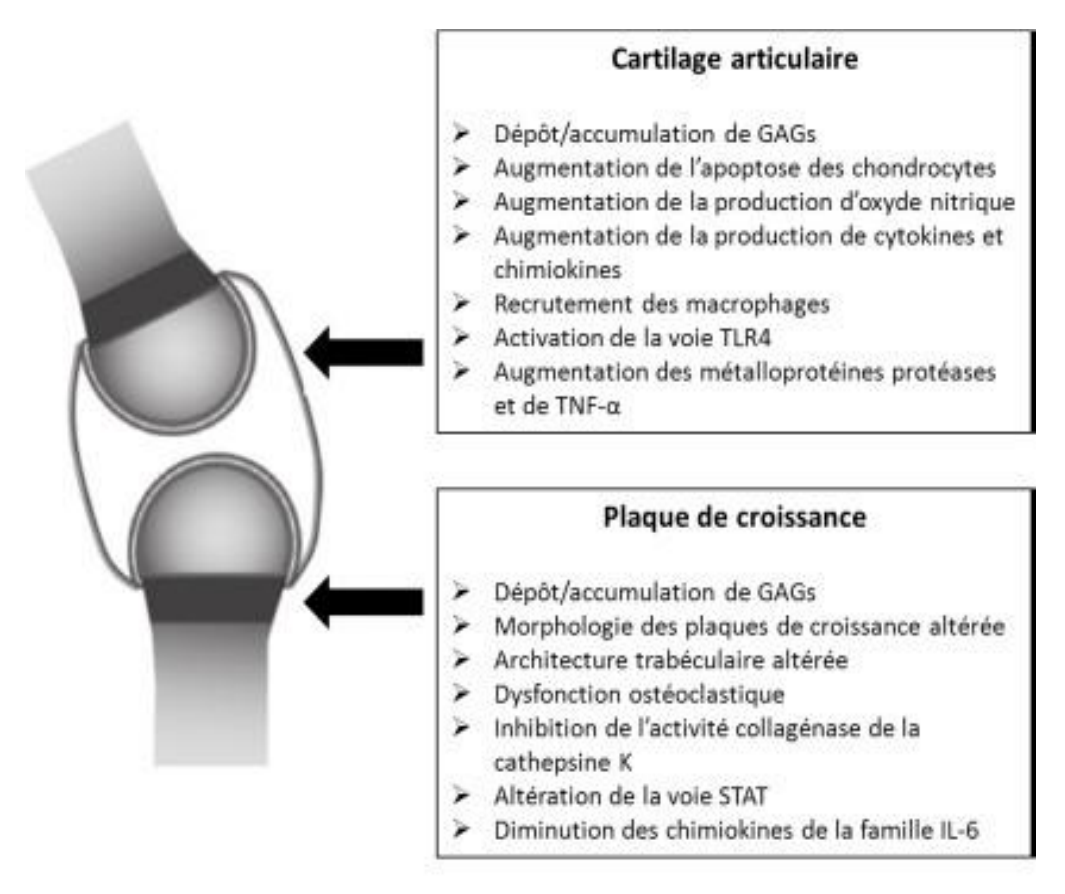


Figure 17. Mécanismes induits par l'accumulation de GAGs type DS et menant aux atteintes osseuses et articulaires observées chez les individus atteints de MPS I (11)

Ces patients développent des déformations osseuses diffuses telles que les cyphoses / scolioses, des clavicules courtes et épaissies et des côtes en forme de rame (thorax déformé), des atteintes dysplasiques cervicales et de la hanche ainsi que des troubles axiaux des membres inférieurs. De plus, un épaississement des tendons et leur rétractation au niveau des articulations des épaules, des coudes et des mains donnant un aspect des mains en griffe (10).



Figure 19. Aspect de main en griffe chez notre malade



Figure 18. Déformation des deux genoux en genu varum chez un malade de notre série

Les malades présentent généralement Une dysplasie squelettique progressive (dysostose multiplex) impliquant tous les os et qui est observée chez tous les individus atteints de MPS Isévère (9) (10) (13).

8. L'atteinte cardiovasculaire

La MPS type I où une accumulation de GAGs type DS est avérée, des anomalies cardiaques sont observées : Le DS étant naturellement présent dans les cellules de la paroi des vaisseaux sanguins ainsi que dans les tissus de la valve cardiaque, il s'accumule donc principalement dans ces tissus. Il y provoque des anomalies contribuant largement à la mortalité précoce observée chez les patients (calcification/déformation progressives de la valve mitrale ou de lavalve aortique, une cardiomyopathie, plus rarement à une coronaropathie). Une mort subite par arythmie, une maladie coronarienne et un collapsus cardiovasculaire peuvent survenir. L'atteinte cardiaque est mise en évidence par l'échocardiographie bien plus tôt que celle observée cliniquement.

L'atteinte cardiaque est observée chez 62% de nos malades, ce pourcentage est moindre comparé à d'autres études ou l'atteinte cardiaque est quasi constante (2) (12) (13) (14) (16), cette atteinte peut survenir à un âge variable d'où l'intérêt d'une évaluation cardiaque tous les 1 ou 2 ans après un diagnostic initial du syndrome de Hurler (9).

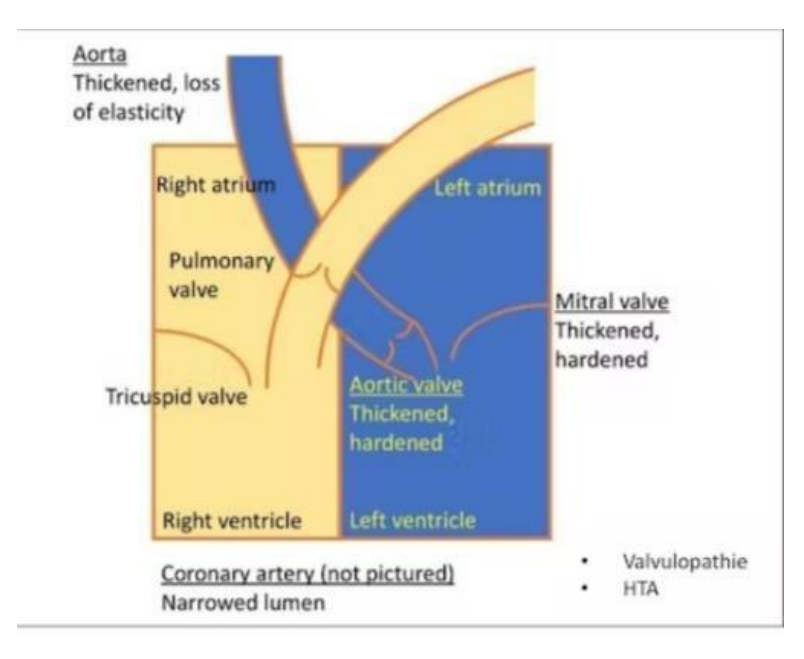


Figure 20. Aperçu schématique des manifestations affectant la fonction cardiaque

dans la MPS I (14).

9. Atteinte dentaire :

L'interrogatoire et l'examen de la cavité buccale doivent rechercher un retard d'éruption dentaire, une anomalie de coloration de l'émail, une diminution de l'ouverture buccale, une hypertrophie gingivale et linguale. Les kystes et abcès dentaires sont fréquents. (12) (29).

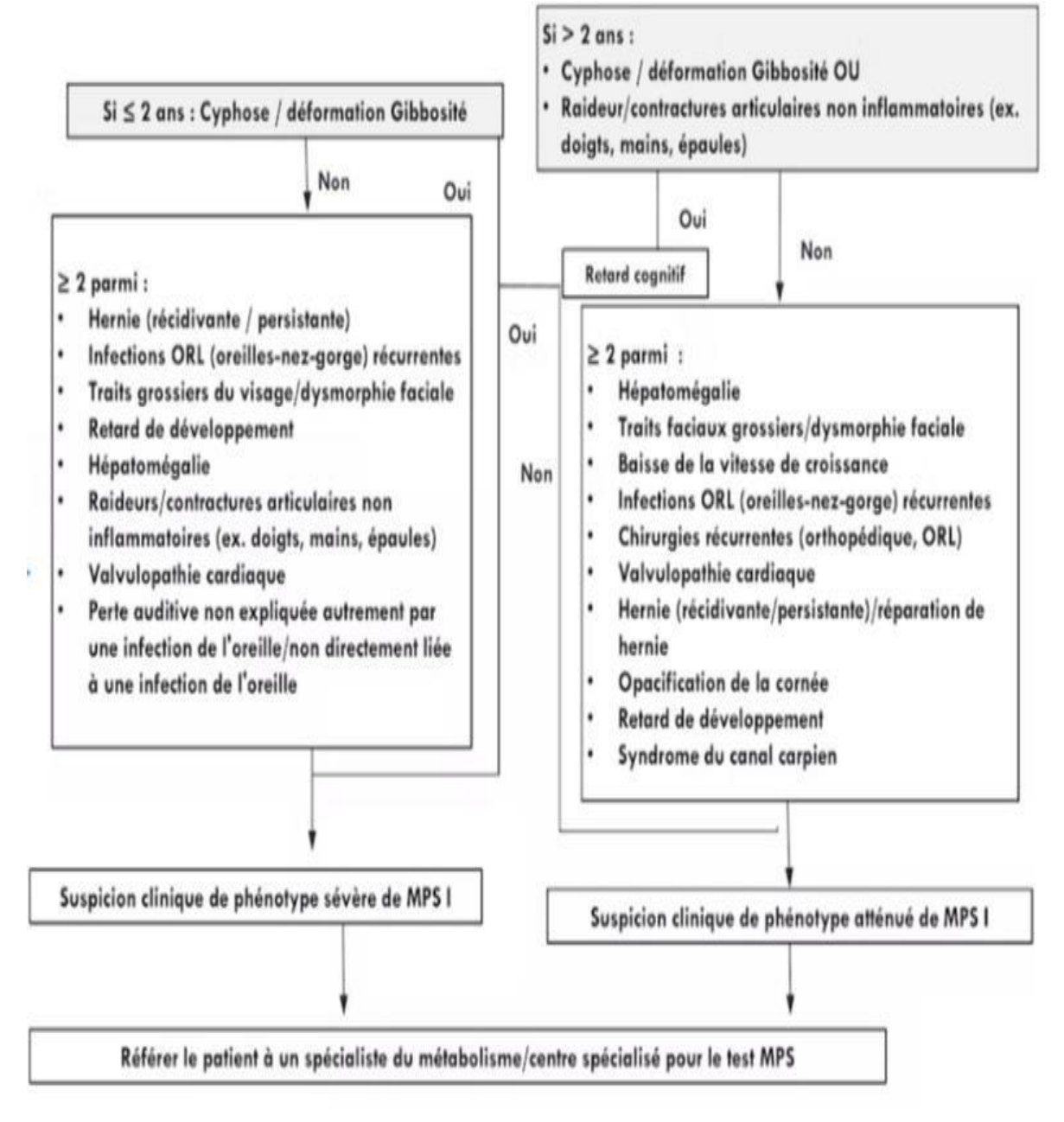


Figure 21. Algorithme en cas de suspicion clinique précoce de MPSI (15)

III. Diagnostic Positif

1. Biologique

Orientation biologique: L'étude des glycosaminoglycanes (GAGs) urinaires est très utile pour l'orientation du diagnostic, le suivi thérapeutique et le pronostic des patients MPS; en effet L'accumulation de GAGs dans les lysosomes entraîne une élévation des GAGs dans l'urine (dermatane et héparane sulfate). L'étude doit être à la fois quantitative et qualitative L'excrétion peut être peu ou pas augmentée chez les patients dont l'atteinte clinique est la plus modérée. (17)

Le gold standard pour le diagnostic de la MPS I est basé sur la mesure de l'activité résiduelle de l'alfa- I -iduronidase (IDUA) (18) effectuée par plusieurs techniques : la fluorimétrie avec le4-methylumbelliferyl (4-MU) comme substrat, la fluorimétrie à haut débit avec un système de microfluidique numérique (DMF), Le dosage se fait sur le plasma, les leucocytes, les fibroblastes, les amniocytes ou les villosités choriales (dosage direct ou sur cellules en culture).

De nos jours, la technique de mesure la plus robuste pour l'IDUA -adoptée actuellement dans notre service -est la spectrométrie de masse en tandem (MS/MS), cette technique permet de doser l'IDUA à partir de gouttes de sang séché réhydraté (DBS) (2) (18).

Il est important de mentionner qu'aucune corrélation biochimique n'existe pour la quantification enzymatique afin de prédire les phénotypes de la maladie (2) (17) (18) (30).

Des pseudo-déficits enzymatiques sont décrits pour a-L-iduronidase ; ils sont rares et ne sont pas associés à une augmentation des concentrations urinaires des GAGs.

2. Etude génétique

L'analyse moléculaire des patients MPS I est généralement réalisée par séquençage complet du gène *IDUA* localisé en position 4p16 du chromosome 4, dont l'ADNc code pour un polypeptide de 653 acides aminés. Il est composé de 14 exons (2). Cette analyse est réalisée systématiquement chez tous nos malades.

Variante ^{un}	Fréquence combinée (%)
p.Trp402 *	31,5
p.Pro533Arg	25,8
p.Gln70 *	21,5
c.56_47del12	6.3
p.Arg89Gln	6.3
p.Arg628 *	5.5
p.Gln380Arg	5.1
p.Ala327Pro	4.9
p.Glu178Lys	3.4

<u>Tableau 6. Illustrant les Variantes les</u> <u>plus courantes chez les patients</u> atteints de MPS I dans le monde (18) :

Les deux premières sont celles retrouvées chez les cas de notre série avec une prédominance de p. Pro533Arg présente chez 7/8 des patients identifiée à l'état homozygote dans 100% des cas.

Ce profil mutationnel concorde avec les données de la littérature : La mutation p.P533R est originaire des pays de l'Afrique du nord. Elle a été retrouvée dans l'ensemble des pays méditerranéens : presque dans 92% des allèles des marocains atteints d'MPS I (19) ,64 % en Tunisie. Alors que sa fréquence est d'environ 5 à 13 % des sujets en Espagne et en Italie (2).

Certaines corrélations génotype-phénotype pourraient permettre de prédire le phénotype clinique d'un patient à partir du génotype :

Plus de 300 variantes de *l'IDUA* ont été rapportées dans la Human Gene Mutation Database (HGMD) (18) (20). Parmi lesquels Deux variantes non-sens courants : p.Trp402* et p. Gln70*, la p. Trp402* est portée de façon homozygote par un de nos malades, elle est rapportée être associée au phénotype sévère (18).

De même que Plusieurs génotypes ont été associés aux deux formes de maladie sans prédilection. Ceci est valable pour p. [Pro533Arg] ; [Pro533Arg] qui est fréquent dans notre étude (18).

3. <u>Dépistage néonatal</u>:

Le dépistage néonatal (NBS) se concentre sur l'identification précoce des troubles pour permettre une intervention précoce en évitant les manifestations irréversibles mettant la vie en danger.

Le dépistage de la MPS I est inclus dans le panel de dépistage néonatal aux États-Unis depuis 2016 (13), et il est actuellement en cours dans d'autres pays (l'Italie comme exemple (21))

Il est très clair que les patients atteints de MPSI tirent un grand bénéfice d'un traitement spécifique précoce (2) (3) (18) (21), ce qui justifie l'indication de l'inclure parmi les pathologies concernées par le programme de dépistage néonatal d'autant plus que les tests de dépistage sont de plus en plus disponibles.

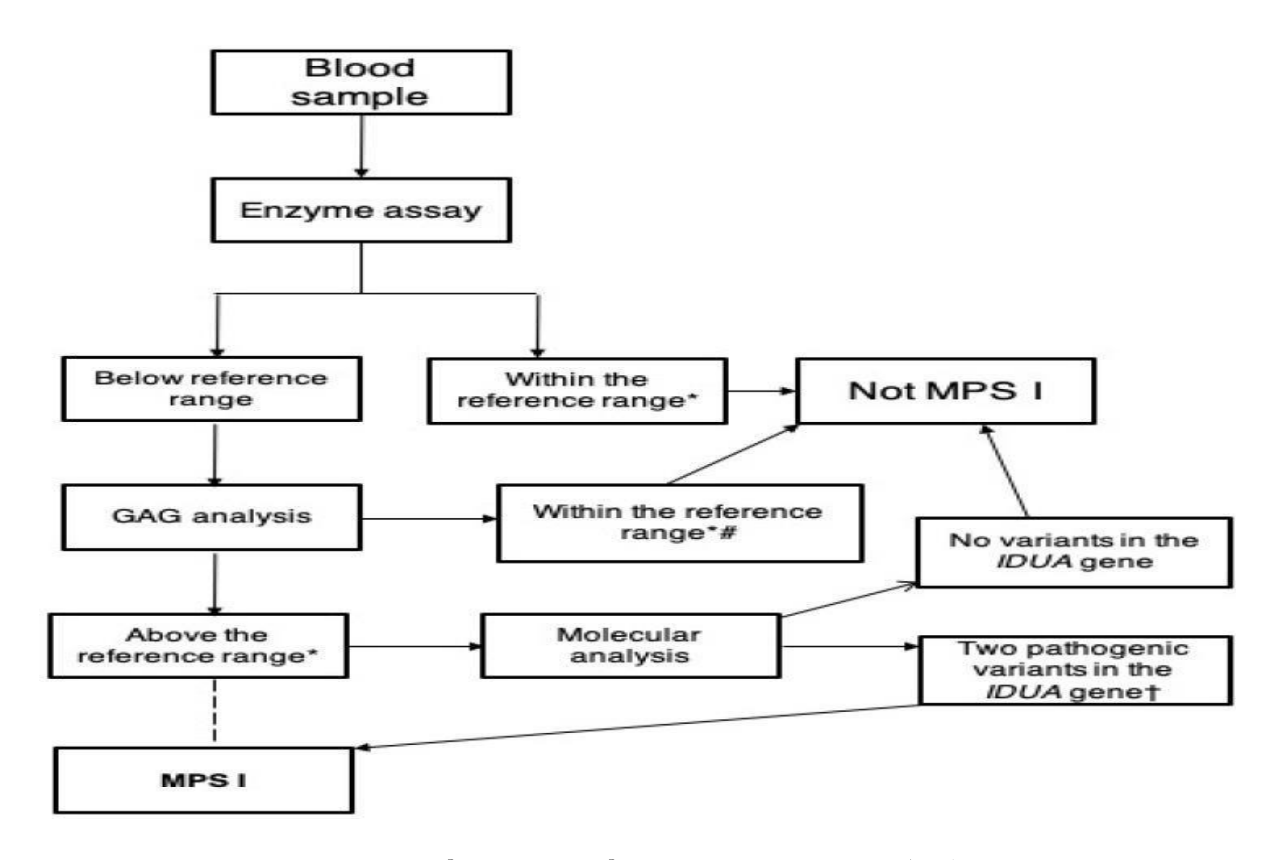


Figure 22. Le dépistage néonatal de la MPS I (18).

- Fourchettes de référence pour la LUZERNE-l'iduronidase (IDUA) et les glycosaminoglycanes peuvent varier selon la méthodologie utilisée et doivent être établis dans chaque laboratoire.
- # Pseudodéficience entraînant de faibles niveaux d'IDUA avec des niveaux normaux de GAG

IV. <u>Diagnostic différentiel</u>:

- Les autres Maladies de surcharges lysosomales en particulier :
- Syndrome de Hunter (mucopolysaccharidose de type 2): le début est tardif,
 l'évolution clinique est plus lente et les manifestations cornéennes sont absentes en comparaison avec le syndrome de hurler.
- Syndrome de Sly (mucopolysaccharidose de type 6) : qui partage des caractéristiques cliniques similaires à celles du syndrome de Hurler. Le retard mental peut être léger ou absent, l'Hydrops fetalis est une présentation la plus courante, et généralement les patients ne survivent pas au diagnostic.
- Déficit multiple en sulfatase ...
- L'hypothyroïdie congénitale : comme pathologie endocrinienne responsable d'une infiltration et épaississement des traits du visage, d'une atteinte cardiaque et distension abdominale avec des hernies.
- Arthrite juvénile idiopathique. Les personnes atteintes de MPS I atténuée peuvent présenterune arthrite non inflammatoire à tout âge.
- Autres : arthrogrypose inflammatoire chronique, Polyarthrite rhumatoïde
 ; dysplasie squelettique, ...

V. Traitement

1. Objectifs:

- Améliorer ou ralentir l'évolution multi systémique de la maladie.
- Améliorer la qualité de vie et l'insertion sociale, scolaire ou professionnelle du patient.
- Informer le patient et sa famille sur sa maladie, les complications et sa prise en charge.

2. Moyens

Ils existent plusieurs moyens thérapeutiques classés en deux catégories : symptomatiques et spécifiques.

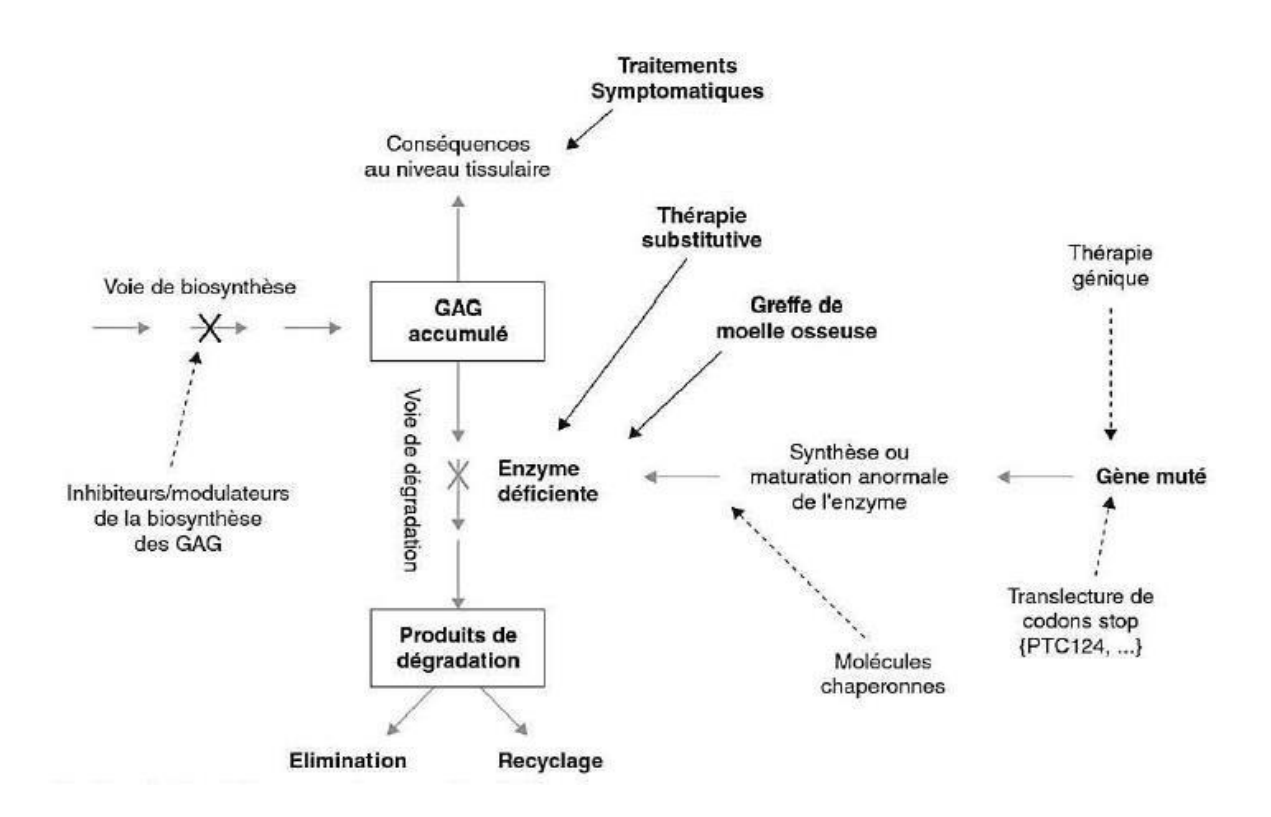


Figure 23. Différentes possibilités thérapeutiques orientées par la physiopathologie (22)

a. Traitements symptomatiques

Une prise en charge supplémentaire du syndrome de Hurler est de soutien et comprend des interventions chirurgicales telles que l'adéno-amygdalectomie ; réparation de hernie; shunt ventriculopéritonéal ; remplacement valvulaire cardiaque; libération du canal carpien ; décompression vertébrale; physiothérapie, ergothérapie et orthophonie; une assistance respiratoire telle qu'une ventilation à pression positive continue avec supplémentation en oxygène (CPAP); prothèses auditives; et des médicaments contre la douleur et les troubles gastro-intestinaux. Les greffes de cornée peuvent être effectuées. Cependant, la chirurgie chez les patients atteints du syndrome de Hurler présente souvent des complications liées aux procédures anesthésiques. (9).

- Traitements spécifiques (Enzymothérapie substitutive (ETS)) :

Visent à diminuer l'accumulation du substrat non dégradé. Pour cela plusieurs stratégies sont envisageables :

- L'augmentation de sa dégradation
- Le ralentissement de sa production
- La modification de la réponse immunitaire face au substrat
- L'augmentation de l'activité de l'enzyme déficiente.

Principe:

Apporter de façon exogène au patient l'enzyme manquante : L'alpha-L-iduronidase humaine recombinante (Aldurazyme) grâce à des perfusions intraveineuses hebdomadaires àvie (23)(26)(31). Ce traitement réduit les accumulations anormales des GAGs dans les différents tissus et diminue ainsi leurs excrétions urinaires (24). De meilleurs résultats peuvent être obtenus s'il est administré avant que des complications graves ne surviennent. (Annexe2)

Limites:

Ne passe pas la barrière hémato-méningée = inefficace sur la symptomatologie neurologique (26) (28) (31).

L'injection intrathécale est cours d'étude (13) (18)

Pas d'action sur les symptômes ophtalmologiques (13).

Mauvaise pénétration dans l'os (vascularisation pauvre) (11) (31)

Apparition d'Ac anti-enzyme (réactions allergiques, diminution efficacité) (11).

Malgré le bénéfice indiscutable de ce traitement dans l'amélioration de la qualité de vie des patients, un des inconvénients majeurs de ce traitement est son cout élevé, le Maroc a fait plusieurs progrès dans ce sens : Ces couts sont actuellement pris en charge par l'assurance maladie. (50% de nos patients bénéficient d'une couverture et reçoivent leur traitement)

Des questions éthiques peuvent être posées lorsqu'un patient atteint de cette affection se retrouve devant la problématique de la prise en charge dans notre contexte, quand lacompagnie d'assurance n'ouvre pas accès à une couverture des soins ; et puis chez les patients présentant une atteinte neurologique avérée, il n'est pas attendu que L'enzymothérapie puisse avoir un effet positif sur ces symptômes, alors il faudra toujours expliquer les bénéfices de cette thérapeutique sur les autres atteintes.

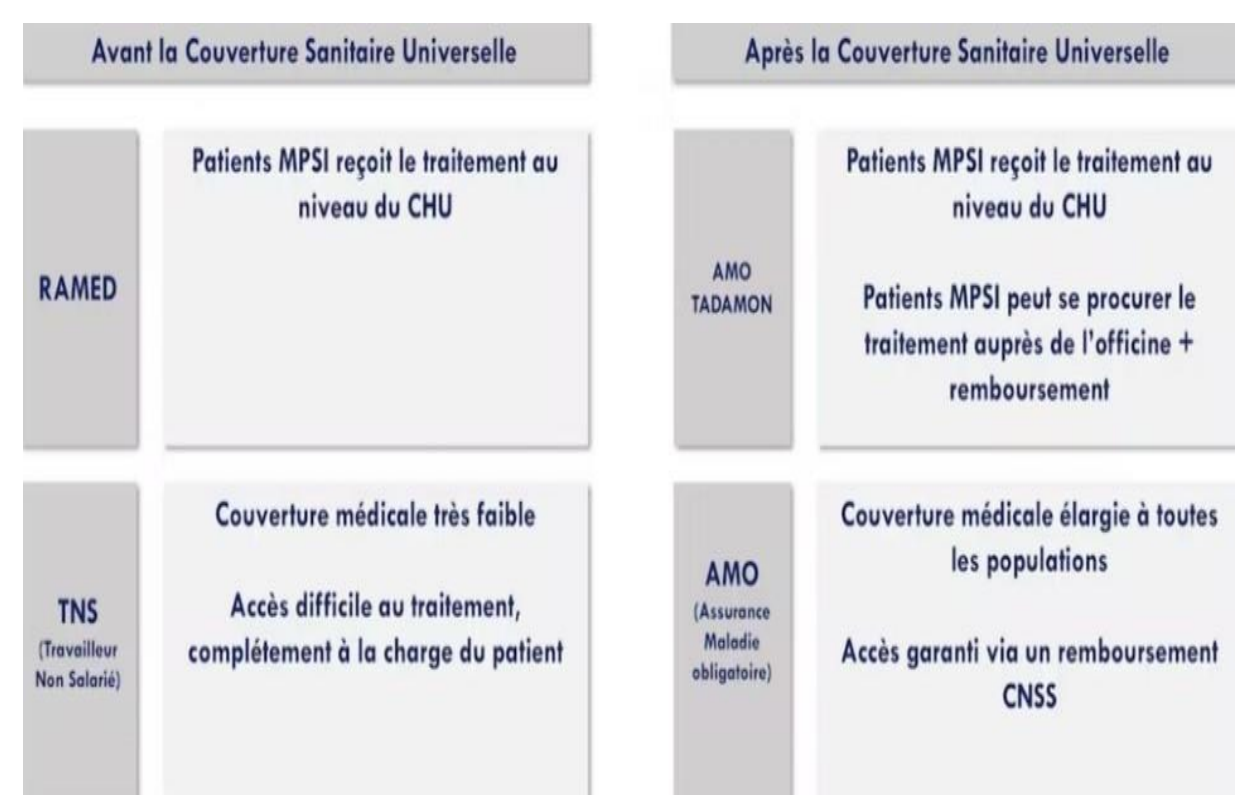


Figure 24. L'Amélioration de l'accès au traitement par les patients MPSI au Maroc

Greffe de cellules souches hématopoïétiques (HSCT) :

Principe:

Le remplacement progressif des cellules hématopoïétiques déficientes en enzyme par des cellules compétentes enzymatiques permettant la production de l'enzyme déficiente dans la moelle, mais également dans le système nerveux via les cellules microgliales. (25) (26)

Limites:

La mortalité et la morbidité ne sont pas négligeables même avec la technique actuellement recommandée de greffe de sang de cordon.

Certaines manifestations cliniques peuvent continuer à évoluer malgré la TCSH, notamment au niveau squelettique, cardiaque, oculaire, ORL et neurologique.

Indication:

Mucopolysaccharidosede type I avant l'âge de 2ans1/2 avec un QD>70. (1) (27)

La HSCT est plus efficace pour prévenir la progression de la maladie que pour inverser la maladie établie (9). Concernant notre série, aucun patient n'a pu bénéficier d'une greffe de la moelle Osseuse.

L'association de l'ETS et de la greffe de cellules souches hématopoïétiques (TCSH) a fourni le meilleur rapport bénéfice/risque. (13) (31)

VI. Nouvelles approches thérapeutiques (22) :

La thérapie génique :

Consiste à apporter dans l'organisme du sujet malade une version normale du gène qui va produire la protéine manquante et ainsi pallier l'insuffisance du gène résident altéré ; Des recherches sont en cours dans des modèles animaux, qui comprend la délivrance du gène de l'enzyme iduronidase à l'aide de vecteurs viraux. La thérapie génique pourrait fournir un futurtraitement humain alternatif pour le trouble MPS. (3) (9) (29)

Les molécules chaperonnes :

Ont été proposées comme une autre approche thérapeutique pour les MPS non encore appliquée à la MPS I pour l'instant (2). Elles permettent de faciliter le bon repliement et de stabiliser la conformation tridimensionnelle de certaines enzymes mutées dans le réticulum endoplasmique. Cependant, ce traitement est limité aux seules mutations responsables d'un mauvais repliement de l'enzyme.

Translecture de codons stop :

Dans les MPS comme dans d'autres maladies génétiques, certaines mutations sont des anomalies de type non-sens générant l'apparition d'un codon stop prématuré qui entraîne soit la synthèse d'une protéine tronquée qui ne parvient plus à assurer sa fonction normale, soit plus souvent la dégradation des ARNm anormaux correspondants. Depuis une dizaine d'années, l'utilisation de molécules favorisant l'entrée d'un ARNt au niveau du codon stop prématuré lors de la traduction (événement appelé translecture) est envisagée comme une nouvelle stratégie thérapeutique.

Méthodes de transfert de gènes :

Il existe deux différentes qui peuvent toutes deux être utilisées dans les MPS. Il s'agit soit de la greffe de cellules génétiquement modifiées, soit de l'administration directe d'un vecteur viral dans l'organisme malade.

- Thérapies par réduction de substrat :

La découverte de petites molécules capables d'inhiber la synthèse des précurseurs de différents substrats, principalement des imino-sucres, a permis le développement d'une nouvelles stratégie thérapeutiques basé sur l'inhibition de la production de substrat (13).

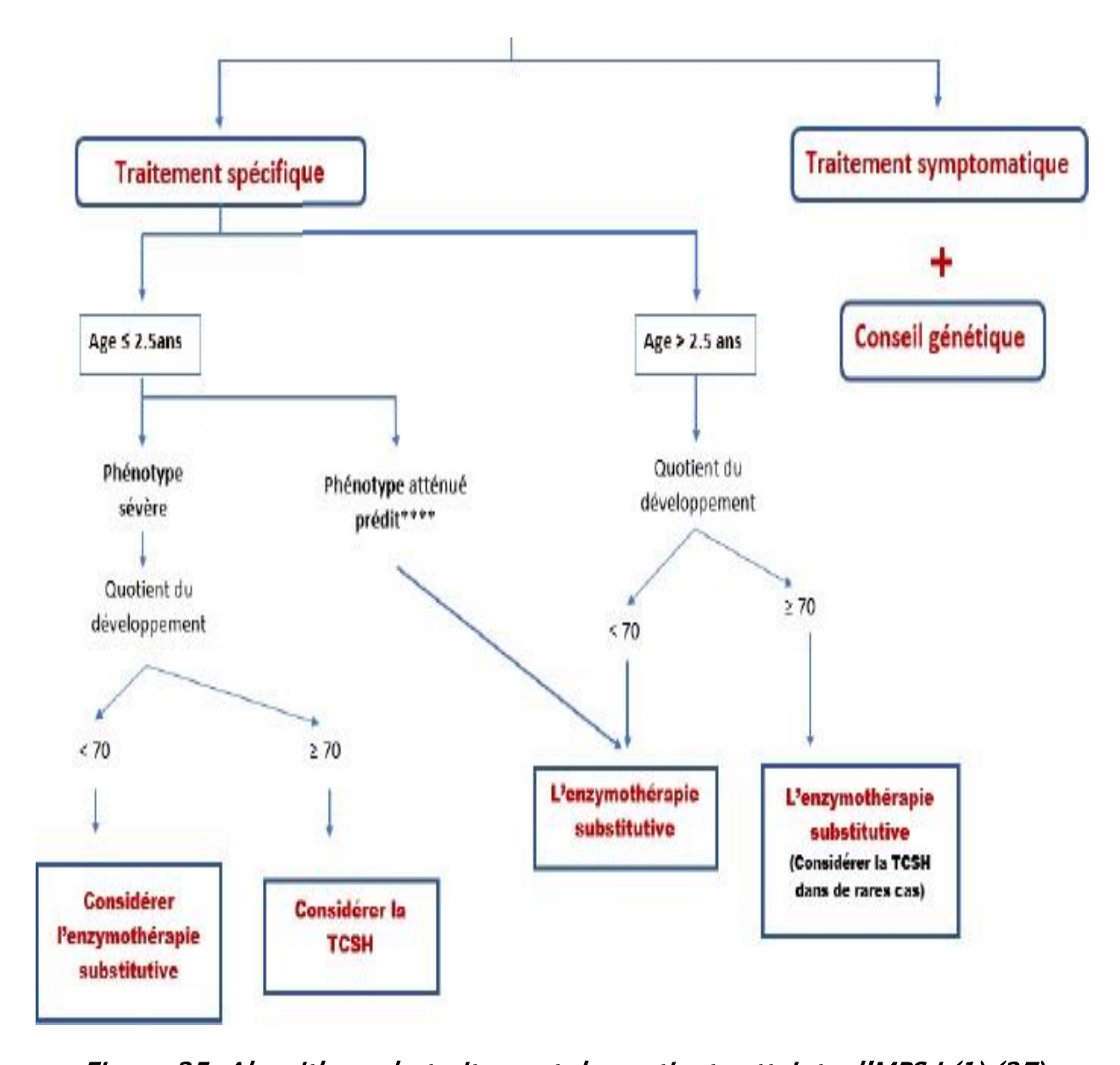


Figure 25. Algorithme du traitement des patients atteints d'MPS I (1) (27)

Prédit *** : la prédiction du phénotype se fait sur la base du tableau clinique, le développent neurologique et le génotype.

VII. Évolution et pronostic.

♦ Évolution

- Sous traitement par enzymothérapie substitutive :

Concernant nos 04 malades traités un seul recoit une dose de 100Ui/semaine depuis plusieurs années (les 03 autres n'ont qu'un recul de 1 à 6 mois), et l'évolution après ces années de traitement souligne de très bons résultats :

- Pas de récidive de ses hernies.
- Régression de l'hépatosplénomégalie après contrôles échographiques.
- Amélioration clinique de la raideur articulaire avec Reprise du développement staturo-pondéral
- Sans traitement :

L'état général des autres patients Hurler s'altère pour la plupart d'entre eux, et on assiste à une dégradation physique progressive. Deux de nos patients sont décédés à domicile par arrêt cardiorespiratoire probable.

◆ Pronostic :

L'évolution de la maladie de Hurler non traitée est particulièrement sévère, elle retentit sur la croissance staturale, elle est marquée par la dégradation physique et mentale progressive avec perte des acquisitions antérieures. L'espérance de vie pour le syndrome d'Hurler est proche de 10ans ; sinon, c'est l'âge adulte pour les formes atténuées. Une infection intercurrente ou une défaillance cardiaque sont les causes habituelles du décès (6).

Le taux de survie semble être amélioré chez les patients ayant bénéficié de la greffe de moelle osseuse comme traitement spécifique (9).

VIII. Surveillance et suivi.

<u>Examen clinique</u> de suivi est identique à celui réalisé lors de l'évaluation initiale (avec une évaluation de la qualité de vie et plaintes douloureuses). La fréquence des consultations (17) (28) :

Tous les 3 mois au début du traitement.

Tous les 6 mois à 1 an après 1 an de traitement, selon l'évolution.

Une consultation multidisciplinaire, au moins une fois par an, est recommandée pour tous les patients.

En cas de TES ou de TCSH, de manière générale et hormis les besoins spécifiques liés à latransplantation médullaire (17).

Suivi biologique

Le suivi spécifique en cas de TCSH ou de TES comprend la mesure de l'alpha-L-iduronidase dans les leucocytes, \pm le sérum du malade, ainsi que le suivi de l'excrétion urinaire des GAGs. Les GAGs sont mesurés juste avant traitement (2 à 3 mesures sont souhaitables puisque leur excrétion urinaire varie d'un jour sur l'autre et diminue avec l'âge). Ensuite, l'activité enzymatique et les GAGs sont étudiés au moins au plan quantitatif, si possible au plan qualitatif, à 1 mois, à 3 mois, à 6 mois et à 1 an, puis 1 fois/an. (17)

Évaluation des proches à risque

Le dépistage de tous les frères et sœurs à risque de tout âge est justifié afin d'initier le traitement le plus tôt possible dans l'évolution de la maladie. Pour les frères et sœurs nouveau-nés à risque lorsque le test prénatal n'a pas été effectué : parallèlement au dépistage néonatal, soit tester les variantes pathogènes IDUA familiales, soit mesurer l'activité enzymatique IDUA et l'excrétion urinaire de GAG.

Conseil génétique

Le conseil génétique est le processus consistant à fournir aux individus et aux familles des informations sur la nature, le(s) mode(s) de transmission et les implications des troubles génétiques pour les aider à prendre des décisions médicales et personnelles éclairées.

Tableau 7. La Surveillance recommandée pour les personnes atteintes de mucopolysaccharidose de type I (13)

Système/Préoccupation	Évaluation	Fréquence
Squelettique	Évaluation par un chirurgien orthopédiste expérimenté	Au moins annuellement
	Test de vitesse de conduction nerveuse médiane pour évaluer le syndrome du canal carpien	Annuellement pendant les 10 premières années
Ophtalmologique	Évaluation ophtalmologique, y compris l'état de la cornée et lafonction rétinienne	Annuellement
Cardiaque	Évaluation cardiaque, y compris échocardiogramme	
Audiologique/ORL	Évaluation par un audiologiste et un médecin ORL pour déterminer le degré et la cause de la déficience auditive	
Gastro-intestinal	Évaluation de la constipation et/ou des hernies	Comme requis
Neurologique	Surveillez la croissance de la tête en mesurant l'OFC.	A chaque visite chez le nourrisson & l'enfant
	Examen échographique crânien et autres études d'imagerie cérébrale ; L'IRM peut montrer une ventriculomégalie, mais les études d'imagerie ne peuvent souvent pas faire la distinction de manière fiable entre l'atrophie cérébrale et la compression cérébrale. La ponction lombaire avec mesure de la pression intracranienne	Si une ↑ rapide d'OFC se produit
	Évaluation des preuves de compression de la moelle épinière par un examen neurologique avec prise en compte des études d'IRM de la colonne vertébrale, le cas échéant	Annuellement
	Évaluation du développement	Au moins annuellement
Développement	Chez les enfants atteints d'une maladie atténuée : envisager une évaluation psycho-éducative.	Avant l'entrée à l'école primaire

LCR = liquide céphalo-rachidien ; OFC = circonférence occipitofrontale

CONCLUSION

La mucopolysaccharidoses type I est une maladie métabolique héréditaire rare mais compte tenu du contexte de consanguinité dans lequel nous vivons au Maroc, la fréquence est sûrement sous-estimée par manque d'information auprès des prestataires de soins primaires et les pédiatres. Un effort doit être fait à ce niveau pour détecter cette pathologie plus précocement.

De nombreuses avancées dans la compréhension de cette maladie complexe ont été réalisées. Plusieurs outils ont également été développés pour son diagnostic, notamment des techniques biochimiques (DBS) et génétiques qui permettent le diagnostic du patient et la détermination de son phénotype, l'identification du porteur et le diagnostic prénatal.

En effet L'influence de la précocité de mise en place du traitement sur le développement et la qualité de vie des enfants atteints de la MPS-1 est clairement démontrée. Il semble donc capital que chacun soit sensibilise aux signes cliniques d'appel et que la PEC soit multidisciplinaire.

Le dépistage néonatal est une bonne option pour un diagnostic précoce : à l'heure actuelle, des projets pilotes régionaux de dépistage sont déjà en place.

Pour la prise en charge spécifique de la MPS I, en plus de l'enzymothérapie substitutive actuellement disponible et prise en charge par l'assurance maladie, la GCSH semble l'option thérapeutique de référence chez les patients de moins de 2 à 2,5 ans. Cette technique doit être généraliser aux différents centres du royaume.

La thérapie génique est prête à être testée dans le cadre préclinique. Cette approche est prometteuse et deviendra peut-être la stratégie la plus efficace et la plus concluante pour la guérison de ce trouble grave.

Les protocoles diagnostiques et thérapeutiques doivent être standardiser pour améliorer le pronostic des enfants atteints de cette maladie rare et potentiellement mortelle

ANNEXES

Annexe 1 : la fiche d'exploitation

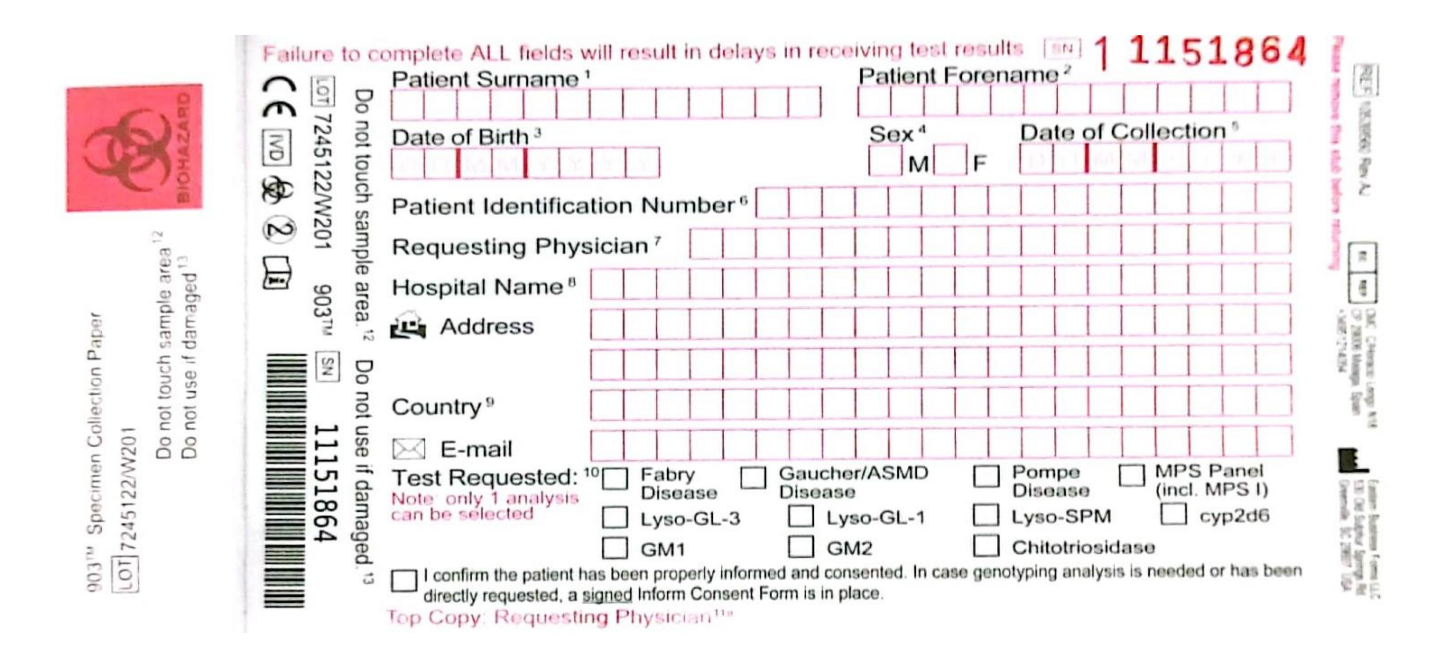
	Observation	n type pour les patients MPS1
Identité :		
		Date de naissance:/ Sexe : M 🗆 F 🗆
Ville de résidence :	***************************************	bate de naissance:
Circonstance	de	découverte :
Age d'apparition des	symptômes :	Age du diagnostic :
Phenotype du patient	:	
Type de la mutation g	énétique :	
Scolarisation : Oui 🗆 N	Non 🗆	
Statut de la couvertur	e sanitaire : Oui 🗆	Non 🗆 type :
Vaccination : Oui 🗆 No	on 🗆	
Évaluation initiale :		
Antécédents familiau	x de MPS I: Oui	☐ Non ☐ Autres antécédents familiaux : Oui ☐ Non ☐

Consanguinité : Oui 🗆	Non □ si Oui : De	egré de consanguinité :
Autres signes d'attein	te spécifique : Oui [□ Non □
		ure : Oui □ Non □ Ralentissement : Oui □ Non □ Macrocrânie :
Oui 🗆 Non 🗆		s atteintes: Oui 🗆 Non 🗆 à préciser:
ORL: Écoulement na	sal permanent Oui	□ Non □ Infections répétées Oui □ Non □ Hypoacousie Oui
☐ Non ☐ Surdité	Oui 🗆 Non 🗆	Autres atteintes : Oui 🗆 Non 🗆 à préciser :
Respiratoire : Bronch	iolite Oui 🗆 Non 🗆	Pneumopathies Oui 🗆 Non 🗆 Symptômes d'asthme Oui
Dyspnée Oui 🗆 Non	□ Trouble	s du sommeil Oui 🗆 Non 🗆 Type du/des trouble(s)
		s du sommeil Oui 🗆 Non 🗆 Type du/des trouble(s) :
		□ Non □
Cardiaque : Valvulo		
cardiaque : vaivulo		Non Type de la valvulopathie:
Sévérité de l'atteinte :		Mind and the second sec
Remplacement valvula	ire Oui □ Non □ N	лительный пот
HTAP Oui Non		Nyocardiopatilles out Non HTA Out Non
	e spécifique : Oui F	Non 🗆
Ophtalmologique :	e specifique . Oui L	I NON [
	n Cácitá	• 10
		rne Oui 🗆 Non 🗆 Perturbations du champ visuel Oui 🗆 Non
Opacités cornéennes C)uí □ Non □ Glau	come Oui 🗆 Non 🗆 Dégénérescence rétinienne Oui 🗅 Non
	Non Strabisme	Oui □ Non □ Amblyopie Oui □ Non □ Port de lunettes Oui
□Non□		Ambiyopie Oui Non Port de lunettes Oui
Autres signes d'atteint	e spécifique : Out F	Non C
Anties signes a attent	s specifique : Oui [I NON LI

Abdominale :
Douleurs abdominales Oui ☐ Non ☐ Distension abdominale Oui ☐ Non ☐ Hépato-splénomégalie Oui
□ Non □
Troubles du transit Oui ☐ Non ☐ Diarrhée motrice Oui ☐ Non ☐ Constipation Oui ☐ Non ☐
Alternance diarrhée-constipation Oui □ Non □
Autres signes d'atteinte spécifique : Oui 🗆 Non 🗆
Ostéo-articulaire :
Raideurs articulaires Oui 🗆 Non 🗆 Arthralgies Oui 🗆 Non 🗆 Gêne fonctionnelle Oui 🗆 Non 🗆
Cyphose ou gibbosité Oui ☐ Non ☐ Déformations osseuses Oui ☐ Non ☐
Autres signes d'atteinte spécifique : Oui 🗆 Non 🗆
Neurologique:
Céphalées Oui □ Non □ Troubles cognitifs Oui □ Non □ => type du/des trouble(s) :
Troubles du comportement Oui □ Non □ Troubles du sommeil Oui □ Non □ Troubles de la marche Oui
□ Non □ Troubles sphinctériens Oui □ Non □ Syndromes canalaires Oui □ Non □
Bilan neuropsychologique Oui 🗆 Non 🗆
Autros signes d'attaine d'us
Autres signes d'atteinte spécifique : Oui Non Odontologique et stamped le imp
Odontologique et stomatologique :
Retard d'éruption dentaire Oui Non Hypertrophie gingivale Oui Non Limitation de
l'ouverture buccale Oui □ Non □ Macroglossie Oui □ Non □ Mycose chronique Oui □ Non □ Stase ou incontinence salivaire Oui □ Non □
Autres signes d'atteinte spécifique : Oui Non Antécédents chirurgicaux :
Adenoidectomie Oui Non Amygdalectomie Oui Non Drains Trans-tympaniques Oui Non
Hernies inguinales ou ombilicale Oui Non Taille de la hernie : Caractère récidivant Oui
□ Non □
Hydrocéphalie dérivée Oui □ Non □
Autres signes d'atteinte spécifique : Oui Non Recherche de retentissement aspécifique :
Sundrama deuleurany Ori II Nan II Barrata II a
Non Retard pubertaire Oui Non Retentissement scolaire Oui
Autres signes d'atteinte spécifique : Oui Non
Examen physique :
Poids(DS) , Taille(DS)
gingivale Qui Non Macroglossie Qui Non Dents notices and Non Hypertropnie
Bents petites espacees Oui Non Ensellure
nasale + retroussement de l'extrémité du nez Oui 🗆 Non 🗀 Cou sourt o
nasale + retroussement de l'extrémité du nez Oui Non Cou court Oui Non Membre trapu Oui Non Tâche mongoloïde Oui Non

	megane	Out Non	Spl	enome	égalie Oui 🛚	THOTT	Douleurs abd	ominales	Oui No	on 🖸
		ique Oui 🗆 N								
Souffle	cardiaqu	ue Oui 🗆 Nor	Ten	nsion a	rtérielle :	./	HTA Oui 🗆 Non	Signe	d'insuffis	ance
							Oui 🗆 Non 🗆 S			
		oracique Ou								
Encomb	rement	rhino-phary	ngé Oui	□ Non	□ Végéta	tions ad	énoidiennes Oui	□ Non □		_
							lutition Oui 🗆 No			
		ennes Oui 🗌								
Rétract	ions mu	sculo-tendin	euses O	ui 🗆 N	on 🗆 Rai	deurs ar	ticulaires Oui 🗆	Non 🗆 C	yphose 0	ui 🛛
Non 🗆							Non Main			
Campto							s/genoux Oui 🗆			
	es Oui 🗌									
					chidienne (Dui 🗆 No	n 🗆 Limitation f	onctionne	elle Oui 🛘	Non
□ Éval	uation fo	onctionnelle	Oui 🗆 No	on 🗆						
Mesure	s d	le l'amp	plitude	ar	ticulaire	de	l'épaule Oui		Non	
		······································								
Test	de	marche	de	6	minutes	si	possible Oui		Non	
							□ Non □ Fatigab			
Tétra ou Non C	paraple Attein	égie spastiqu	ue Oui 🗆 que Oui [Non 🗆	Troubles sp	hinctéri	□ Non □ Fatigab	Troubles	sensitifs	Oui
Tétra ou Non Canal ca	paraple Attein arpien ou	égie spastiqu te périphério u cubital Oui	ue Oui 🗆 i que Oui [i 🗆 Non [Non 🗆 Non	Troubles sp	ohinctéri	ens Oui 🗆 Non 🗆	Troubles	sensitifs	Oui
Tétra ou Non Canal ca Traitem Traitem	paraple Attein arpien ou ent : ent	égie spastiqu te périphério u cubital Oui sym	ue Oui 🗆 que Oui 🗎 i 🗆 Non 🖸	Non Non que	Troubles sp	ohinctéri 	ens Oui 🗆 Non 🗆	Troubles	sensitifs	Oui
Tétra ou Non Canal ca Traitem Traitem	paraple Attein arpien or ent:	égie spastiqu te périphéric u cubital Oui sym	ue Oui 🗆 que Oui [que Oui [i 🗆 Non [ptomation]	Non Non que	Troubles sp	Dhinctéri	ens Oui 🗆 Non 🗆	Troubles	sensitifs	Oui
Tétra ou Non Canal ca Traitem Traitem Traitem	a paraple Attein Arpien or ent: ent ent enzy	égie spastiqu te périphério u cubital Oui sym ymatique sub	ptomatic	Non D Non que	Troubles sp	ohinctéri	ens Oui Non	Troubles	sensitifs	Oui
Tétra ou Non E Canal ca Traitem Traitem Effets se	a paraple Attein arpien or ent: ent ent enzy	égie spastiqu te périphéric u cubital Oui sym ymatique sub res relatifs au	ptomaticustitutif	Non D Non que	Troubles sp	ohinctéri	ens Oui 🗆 Non 🗆	Troubles	sensitifs	Oui
Tétra ou Non E Canal ca Traitem Traitem Effets se	a paraple Attein Arpien or ent: ent ent enzy econdair on des pa	égie spastiqu te périphéric u cubital Oui sym ymatique sub res relatifs au atients traite	ptomatic bstitutif u traitem	Non	Troubles sp O Non Duri	ohinctéri Oui ée du tra	ens Oui Non aitement :	Troubles	sensitifs	Oui
Tétra ou Non E Canal ca Traitem Traitem Effets se Évolutio Stabilisa	a paraple Attein arpien or ent: ent ent enzy econdair on des pa	égie spastiqu te périphéric u cubital Oui sym ymatique sub res relatifs au atients trait	ptomation bstitutif (traitem és:	Non	Troubles sp O Non Duri ui Non fonction res	Dui ée du tra	ens Oui Non a	Troubles	sensitifs	Oui
Tétra ou Non Canal ca Traitem Traitem Effets se Évolutio Stabilisa Amélior	a paraple Attein arpien or ent: ent ent enzy econdair on des par etion ou ation de	égie spastiqu te périphéric u cubital Oui sym ymatique sub res relatifs au atients traite	ptomatic bstitutif u traitem és:	Non	Non Dure Non fonction resents (épaule	Dui ée du tra	ens Oui Non a	Troubles	sensitifs	Oui
Tétra ou Non E Canal ca Traitem Traitem Effets se Évolutio Stabilisa Amélior Normali	a paraple Attein arpien or ent: ent ent enzy econdair on des pa etion ou ation de	égie spastiqu te périphério u cubital Oui sym ymatique sub res relatifs au atients traitu amé	ptomation des morégalie	Non	Non Duri	Dui ée du tra	ens Oui Non a	Troubles	sensitifs	Oui
Tétra ou Non Canal ca Traitem Traitem Effets se Évolutio Stabilisa Amélior Normali Amélior	a paraple Attein arpien or ent: ent ent enzy econdair on des pa ation ou ation de sation de	égie spastique te périphéric u cubital Oui sym ymatique subres relatifs au atients traite amé e l'amplitude de l'organom	ptomatic bstitutif u traitem des modégalie e croissa	Non	Non Duri	Dui ée du tra	ens Oui Non a	Troubles	sensitifs	Oui
Tétra ou Non E Canal ca Traitem Traitem Effets se Évolutio Stabilisa Amélior Amélior Amélior	ent enzy econdair on des pa tion ou ation de ation de ation de	égie spastique te périphéric u cubital Oui sym ymatique subres relatifs au atients traite amé e l'amplitude e l'organome la courbe de	ptomation des morégalie e croissa	Non	Non Duri	Dui ée du tra	ens Oui Non a	Troubles	sensitifs	Oui
Tétra ou Non E Canal ca Traitem Traitem Effets se Évolutio Stabilisa Amélior Amélior Amélior	ent enzy econdair on des pa tion ou ation de ation de ation de	égie spastique te périphéric u cubital Oui sym ymatique subres relatifs au amé e l'amplitude de l'organome la courbe de la qualité de	ptomation des morégalie e croissa	Non	Non Duri	Dui ée du tra	ens Oui Non a	Troubles	sensitifs	Oui
Tétra ou Non E Canal ca Traitem Traitem Effets se Évolutio Stabilisa Amélior Amélior Amélior	ent enzy econdair on des pa tion ou ation de ation de ation de	égie spastique te périphéric u cubital Oui sym ymatique subres relatifs au amé e l'amplitude de l'organome la courbe de la qualité de	ptomation des morégalie e croissa	Non	Non Duri	Dui ée du tra	ens Oui Non a	Troubles	sensitifs	Oui
Tétra ou Non E Canal ca Traitem Traitem Effets se Évolutio Stabilisa Amélior Amélior Amélior	ent enzy econdair on des pa tion ou ation de ation de ation de	égie spastique te périphéric u cubital Oui sym ymatique subres relatifs au amé e l'amplitude de l'organome la courbe de la qualité de	ptomation des morégalie e croissa	Non	Non Duri	Dui ée du tra	ens Oui Non a	Troubles	sensitifs	Oui
Tétra ou Non E Canal ca Traitem Traitem Effets se Évolutio Stabilisa Amélior Amélior Amélior	ent enzy econdair on des pa tion ou ation de ation de ation de	égie spastique te périphéric u cubital Oui sym ymatique subres relatifs au amé e l'amplitude de l'organome la courbe de la qualité de	ptomation des morégalie e croissa	Non	Non Duri	Dui ée du tra	ens Oui Non a	Troubles	sensitifs	Oui

Annexe 2 : Papier buvard type « Guthrie » permettant le dosage enzymatique et l'étude génétique sur DBS en cas de suspicion de MPS ou autre maladie métabolique



Annexe 3 : Protocole d'usage de la laronidase chez les patients atteints de MPS I (17)

Lieu	Cadre clinique approprié disposant du matériel de réanimation nécessaire au traitement des urgences				
Voie	médicales. Intraveineuse (périphérique ou centrale) en perfusion				
Posologie	100 UI/kg				
La vitesse de perfusion	La vitesse de perfusion initiale de 2 UI/kg/heure pourra être progressivement augmentée, toutes les 15 minutes, si tolérée, jusqu'à un maximum de 43 UI/kg/heure.				
Durée de perfusion	4 heures ; un raccourcissement de la durée de perfusion pourra être envisagé en l'absence d'effets indésirables (en restant supérieure ou égale à 2 heures).				
Fréquence	Une fois par semaine				
Contre-indication	Une hypersensibilité sévère au médicament ou à l'un des excipients (ex : réaction anaphylactique) est une contre-indication définitive à l'administration de laronidase.				
Effets indésirables	Des réactions liées à la perfusion, d'intensité légère à modérée : flush, fièvre, frissons, céphalées et rash, arthralgie, douleur dorsale, hypotension, douleur abdominale et diarrhée. Des réactions allergiques graves:bronchospasme, arrêt respiratoire, œdème de Quincke,				
Évaluation de l'efficacité	 La distance absolue parcourue pendant letest de marche de 6 minutes. La capacité vitale forcée Les apnées du sommeil L'organomégalie La myocardiopathie L'excrétion urinaire des GAGs 				

Annexe 4 : Exemple du traitement par laronidase administré chez un patient (1)

Patient: X Poids: 25kg

- 1) Voie veineuse périphérique
- 2) Dose: 100 UI/kg soit 2500 UI soit 5 flacons de 5 ml de laronidase 100 UI/ml
- 3) Préparation : Prendre 250 ml de sérum salé 0.9 % et en retirer 25 ml puis ajouter les 5 flacons (25 ml) de laronidase et mélanger le tout, doucement.
- 4) Perfusion : si bonne tolérance, la perfusion pourra être progressivement augmentée, toutes les 15 minutes :
- 5 ml/heure pendant 15 minutes
- Puis 10 ml/ heure pendant 15 minutes
- Puis 20 ml/ heure pendant 15 minutes
- Puis 40 ml/ heure pendant 15 minutes
- Puis 80 ml/ heure jusqu'à la fin
- 5) Surveillance étroite :
- Température, fréquence cardiaque, fréquence respiratoire, pression artérielle et la saturation en oxygène :
 - · Avant de commencer la perfusion
 - · Avant chaque changement du débit de la perfusion
 - · A la fin de la perfusion
- L'augmentation du débit de la perfusion doit être effectuée après avoir vérifié les signes vitaux du patient.
- En cas de réactions à la perfusion : Réduction de la vitesse de perfusion voire interruption temporaire de la perfusion jusqu'à disparition des symptômes et/ou administration des antihistaminiques et/ou des antipyrétiques
- En cas de survenue de réaction d'hypersensibilité sévère (réactions anaphylactiques), il est recommandé d'interrompre immédiatement et définitivement l'administration de laronidase, et un traitement médical approprié doit être débuté.

<u>RÉSUMÉ</u>

La mucopolysaccharidose de type I (MPS I) est une maladie de surcharge lysosomale rare à transmission autosomique récessive, liée à un déficit enzymatique en alpha-L-iduronidase nécessaire au catabolisme des glycoaminoglycanes (GAG) : dont L'accumulation conduit à une maladie multi systémique chronique responsable d'une hétérogénéité clinique importante.

Les objectifs de notre étude sont : d'étudier les différentes caractéristiques épidémiologiques, cliniques et paracliniques des MPS I, d'analyser les profils évolutifs des patients sous traitement spécifique en comparant nos résultats aux données de la littérature à fin d'établir un protocole de prise en charge adapté permettant un diagnostic précoce des MPS I.

Nous avons procédé à une analyse rétrospective portant sur 08 enfants suivis pour MPS I au service de pédiatrie à l'hôpital mère-enfant du CHU HASSAN II Fès, colligés sur une période de 10 ans allant de décembre 2012 à décembre 2022. L'âge moyen de nos patients au moment du diagnostic était de 4.5 ans avec des extrêmes de 3 mois et de 10 ans, l'âge moyen au début de la maladie était de 04 mois avec un délai de 05 ans en moyenne entre le début des symptômes et le diagnostic. Notre étude comporte autant de garçons que de filles. La moitié de nos patients bénéficient d'une couverture sanitaire. La consanguinité a été retrouvée chez six cas, deux de nos patients sont frère et sœur. Les antécédents d'infections respiratoires et/ou otorhinolaryngologiques à répétitions ont été retrouvés chez 7/8 malades. Les motifs de consultation les plus fréquents étaient les hernies ombilicales et la distension abdominale. Le tableau clinique et paraclinique a été dominé par la dysmorphie faciale, le retard statural et/ou pondéral et l'organomégalie qui ont été présents chez tous les patients, suivies par l'atteinte cardiaque et l'atteinte ostéoarticulaire qui ont été retrouvés respectivement chez cinq et six cas. Le phénotype Hurler a été constaté chez

6/8 patients. La majorité de ces enfants bénéficient d'un traitement symptomatique avec prédominance des cures chirurgicales des hernies, et la moitié d'entre eux reçoivent un traitement substitutif à base de laronidase alors qu'aucune transplantation des cellules souches hématopoïétiques n'a été réalisée. L'évolution des patients sous laronidase a été marquée en général par l'amélioration ou au moins la stabilisation des symptômes alors que l'état des patients non traités s'aggravait progressivement avec décès de deux malades.

La MPSI représente dans notre contexte un défi diagnostique, notamment chez les patients ayant un phénotype atténué et des signes peu spécifiques. La sensibilisation des médecins pour Une meilleure connaissance de cette maladie nous permettra de procéder à un diagnostic précoce. Cette maladie multisystémique nécessite une prise en charge multidisciplinaire adaptée à chaque patient, L'instauration d'un traitement spécifique à un âge précoce permet d'améliorer la qualité de vie de l'enfant.

BIBLIOGRAPHIE

- [1] BARA, M. H. Les mucopolysaccharidoses de type 1 au service de pédiatrie au CHU Mohammed VI.Faculté de Médecine et de pharmacie de Marrakech ; thèse N: 057/2020
- [2] Zoubir Adjtoutah. Caractéristiques cliniques et moléculaires d'une cohorte de 13 patients algériens atteints de MPS I. Sciences pharmaceutiques. 2012. dumas-00760712
- [3] DE PONTI, Giada, DONSANTE, Samantha, FRIGENI, Marta, et al. MPSI Manifestations and Treatment Outcome: Skeletal Focus. International Journal of Molecular Sciences, 2022, vol. 23, no 19, p. 11168.
- [4] [Prévalence des maladies rares : Données bibliographiques », Les cahiers d'Orphanet, Série Maladie Rares, Janvier2022,
- [5] www.mps1disease.com
- [6] BOUSSOF, Elmehdi. Les mucopolysaccharidose de type I à propos de 10 cas. 2012.faculté de Médecine et pharmacie de Rabat ; Thèse de doctorat N:170/12.
- [7] S. Khedhiri, L. Chkioua, H. Bouzidi, A. Dandana, H. Ben Turkia, A. Miled, S. Laradi. Les mucopolysaccharidoses de type I et IVA: aspects cliniques et consanguinite enTunisie. Pathologie Biologie 57 (2009) 392–397. Elsevier Masson SAS.
- [8] Gerard Chales, Guillaume Coiffier, Pascal Guggenbuhl. Manifestations osteoarticulaires des mucopolysaccharidoses et des glycogenoses. Revue du rhumatisme monographies 78 (2011) 254-261.
- [9] Sakuru R, Bollu PC. Syndrome de Hurler. [Mise à jour le 12 juillet 2022]. Dans
 : StatPearls [Internet]. Treasure Island (FL): StatPearls Publishing; 2022
 janvier-. Disponible sur https://www.ncbi.nlm.nih.gov/books/NBK532261/

- [10] Costi S, Caporali RF, Marino A. Mucopolysaccharidosis: What Pediatric Rheumatologists and Orthopedics Need to Know. Diagnostics (Basel). 2022 Dec 27;13(1):75.
- [11] BODET, Pierre-Edouard. Recherche de biomarqueurs glucidiques de mucopolysaccharidoses et étude de la physiopathologie. 2016. Thèse de doctorat. Université Paris-Saclay (ComUE).
- [12] TÉMÉ, Adama. Aspects cliniques, paracliniques et génétiques des mucopolysaccharidoses au Centre Hospitalier Universitaire (CHU) du Point G. 2019. Thèse de doctorat. USTTB.
- [13] Clarke LA. Mucopolysaccharidose de type I. Dans : GeneReviews®. Université de Washington, Seattle (WA); 2002 MAJ en février 2021. PMID : 20301341.
- [14] Hampe CS, Eisengart JB, Lund TC, Orchard PJ, Swietlicka M, Wesley J, McIvor RS. Mucopolysaccharidosis Type I: A Review of the Natural History and Molecular Pathology. Cells. 2020 Aug 5;9(8):1838.
- [15] BARONIO, Federico, ZUCCHINI, Stefano, ZULIAN, Francesco, et al. Proposal of an Algorithm to Early Detect Attenuated Type I Mucopolysaccharidosis (MPS la) among Children with Growth Abnormalities. Medicina, 2022, vol. 58, no 1, p. 97.
- [16] La mucopolysaccharidose de type I Encyclopédie Orphanet Grand Public Maladies Rares
 - www.orpha.net/data/patho/Pub/fr/MucopolysaccharidoseType1-FRfrPub132v01.pdf | Octobre 2009 7
- [17] Mucopolysaccharidose de type i protocole national de diagnostic et de soins,

 Haute Autorité de santé juin 2007
- [18] Kubaski F, de Oliveira Poswar F, Michelin-Tirelli K, Matte UDS, Horovitz DD,

- Barth AL, Baldo G, Vairo F, Giugliani R. Mucopolysaccharidosis Type I. Diagnostics (Basel). 2020 Mar 16;10(3):161.
- [19] Alif N, Hess K, Straczek J, Sebbar S, N'Bou A, Nabet P, Dousset B. Mucopolysaccharidosis type I: characterization of a common mutation that causes Hurler syndrome in Moroccan subjects. Ann Hum Genet. 1999 Jan ;63(Pt 1):9-16
- [20] Stenson, P.D.; Mort, M.; Ball, E.V.; Evans, K.; Hayden, M.; Heywood, S.; Hussain, M.; Phillips, A.D.; Cooper, D.N. The Human Gene Mutation Database: Towards a comprehensive repository of inherited mutation data for medical research, genetic diagnosis and next-generation sequencing studies. Hum. Genet.2017, 136, 665-677.
- [21] Donati MA, Pasquini E, Spada M, Polo G, Burlina A. Newborn screening in mucopolysaccharidoses. Ital J Pediatr. 2018 Nov 16;44(Suppl 2):126. Erratum in: Ital J Pediatr. 2019 Jun 11;45(1):71.
- [22] EL HAMDOUCHI Haajar. MUCOPOLYSACCHARIDOSE TYPE VII : MALADIE DE SLY
 A PROPOS D'UN CAS ET REVUE DE LA LITTERATURE, facukté de medecine et
 pharmacie de Rabat these N :350/2020
- [23] Summary of Product Characteristics (SPC). Aldurazyme 100 U/ml concentrates for solution for infusion, EMA, 2003.
- [24] Kakkis ED, Muenzer J, Tiller GE, et al (2001): Enzyme-replacement therapy in mucopolysaccharidoses I. NEngl J Med; 344: 182-8.
- [25] ABILY-DONVAL, Lénaïg. Exploration des mécanismes physiopathologiques des mucopolysacharidoses et de la maladie de Fabry par approches" omiques" et modulation de l'autophagie. 2019. Thèse de doctorat. Normandie Université.

- [26] Dr C. Wicker ,Mucopolysaccharidosede type I : Des symptômes fréquents qui peuvent cacher une maladie rare ! Centre de référence maladies héréditaires du métabolisme de l'enfant et l'adultMa.M.E.A
- [27] MUENZER, Joseph, WRAITH, James E., CLARKE, Lorne A., et al. Mucopolysaccharidosis I: management and treatment guidelines. Pediatrics, 2009, vol. 123, no 1, p. 19–29.
- [28] Protocole National de Diagnostic et de Soins (PNDS) Mucopolysaccharidoses Filières de Santé Maladies Rares G2M Juillet 2016
- [29] M. Michaud, N. Belmatoug, F. Catros, S. Ancellin, G. Touati, T. Levade, F. Gaches, Mucopolysaccharidoses: quand y penser? La Revue de Médecine Interne, Volume 41, Issue 3,2020,
- [30] R. Froissart1, S. Bekri2 Diagnostic et suivi des mucopolysaccharidoses Archives de Pédiatrie 2014 ;21 : S27–S31
- [31] Bouzid, Fadoua & Brakez, Zahra & Benyamna, Ilham & Elmousadik, Abdelhamid & Jabir, Bouchaib & Alif, Najat. (2019). LA MUCOPOLYSACCHARIDOSE DE TYPE I : EFFICACITÉ DU TRAITEMENT ENZYMATIQUE SUBSTITUTIF PAR LA LARONIDASE CHEZ UN CAS. International Journal of Advanced Research. 7(9), 541–545. 2320–5407.